

Catálogo de Sismos Históricos en México

Índice de figuras

- Fig. A-1** Resultado de la inversión en datos macrosísmicos para el sismo del 25 de marzo de 1787. El mejor ajuste de ubicación epicentral se encuentra en el área donde ocurrió el mayor daño con una magnitud $M_l=5.8$ cercano a Acapulco. Las abreviaciones de ciudad son: A, Acapulco y Ch, Chilpancingo. **5**
- Fig. A-2** Resultado de la inversión en datos macrosísmicos para el sismo del 5 de mayo de 1739. El mejor ajuste de ubicación epicentral se encuentra en el área correspondiente a una magnitud M_l 5.8 cercano a Acapulco. Las abreviaciones de ciudad son: A, Acapulco y CH, Chilpancingo. **6**
- Fig. A-3** Epicentro supuesto seleccionado con base en la distribución de intensidades mayores y basado en la evidencia de que se trata de un sismo de subducción del día 21 de abril de 1776. Las abreviaciones de ciudad son: A, Acapulco y CH, Chilpancingo. **7**
- Fig. A-4** Distribución de intensidades (MMI) con respecto a la distancia al epicentro para el sismo del 21 de abril de 1776. Con base en la dispersión de los puntos y una curva de ajuste auxiliar se observa que la M está entre 7 y 8..... **7**
- Fig. A-5** Resultado de la inversión en datos macrosísmicos para el sismo del 28 de marzo de 1787. El mejor ajuste de ubicación epicentral se encuentra en el área donde ocurrió el mayor daño. La magnitud (M_l 9) es mayor al que se había estimado previamente. La abreviación de ciudad O corresponde a la ciudad de Oaxaca. **8**
- Fig. A-6** Resultado de la inversión en datos macrosísmicos para el sismo del 5 de octubre de 1801. El mejor ajuste de ubicación epicentral se encuentra en el área correspondiente a una magnitud M_l 6.8. La abreviación de ciudad O corresponde a la ciudad de Oaxaca..... **9**
- Fig. A-7** Resultado de la inversión en datos macrosísmicos para el sismo del 25 de marzo de 1806. El mejor ajuste de ubicación epicentral se encuentra en el área correspondiente a una magnitud M_l 8.2. Las abreviaciones de ciudad son: CO, Colima; GDL, Guadalajara y TE, Tepic. **10**
- Fig. A-8** Epicentro estimado seleccionado con base en la distribución de intensidades mayores y basado en la evidencia de que se trata de un sismo de subducción del día 31 de mayo de 1818. Las abreviaciones de ciudad son: AG, Aguascalientes y otras abreviaciones como en figuras previas. **11**
- Fig. A-9** Distribución de intensidades (MMI) con respecto a la distancia al epicentro para el sismo del 31 de mayo de 1818. Con base en la dispersión de los puntos y una curva de ajuste auxiliar se observa que la M está entre 7 y 8..... **11**
- Fig. A-10** Resultado de la inversión en datos macrosísmicos para el sismo del 4 de mayo de 1820. El mejor ajuste de ubicación epicentral se encuentra en el área correspondiente a una magnitud M_l 7.6. Abreviaciones como en figuras previas. **12**

Fig. A-11 Resultado de la inversión en datos macrosísmicos para el sismo del 4 de diciembre de 1852. El mejor ajuste de ubicación epicentral se encuentra en el área correspondiente a una magnitud M_I 7.8. Abreviaciones como en figuras previas.	13
Fig. A-12 Resultado de la inversión en datos macrosísmicos para el sismo del 5 de mayo de 1854. El mejor ajuste de ubicación epicentral se encuentra en el área correspondiente a una magnitud M_I 7.2. Abreviaciones como en figuras previas.	14
Fig. A-13 Resultado de la inversión en datos macrosísmicos para el sismo del 1 de febrero de 1855. El mejor ajuste de ubicación epicentral se encuentra en el área correspondiente a una magnitud M_I 6.6. Las abreviaciones de ciudad son: CU, Cuernavaca y otras abreviaciones como en figuras previas.	15
Fig. A-14 Resultado de la inversión en datos macrosísmicos para el sismo del 11 de mayo de 1870. El mejor ajuste de ubicación epicentral se encuentra en el área correspondiente a una magnitud M_I 8. Las abreviaciones de ciudad son: P, Puebla y O, Oaxaca.	16
Fig. A-15 Resultado de la inversión en datos macrosísmicos para el sismo del 27 de marzo de 1872. El mejor ajuste de ubicación epicentral se encuentra en el área correspondiente a una magnitud M_I 7.5. Abreviaciones como en figuras previas.	17
Fig. A-16 Resultado de la inversión en datos macrosísmicos para el sismo del 2 de diciembre de 1890. El mejor ajuste de ubicación epicentral se encuentra en el área correspondiente a una magnitud M_I 8.0. Abreviaciones como en figuras previas.	18
Fig. A-17 Epicentro estimado seleccionado con base en la distribución de intensidades mayores y basado en la evidencia de que se trata de un sismo de subducción del día 5 de junio de 1897. Las abreviaciones de ciudad son como en figuras previas.	19
Fig. A-18 Distribución de intensidades (MMI) con respecto a la distancia al epicentro para el sismo del 5 de junio de 1897. Con base en la dispersión de los puntos y una curva de ajuste auxiliar se observa que la M_I está entre 6 y 7.	19
Fig. A-19 Resultado de la inversión en datos macrosísmicos para el sismo del 24 de enero de 1899. El mejor ajuste de ubicación epicentral se encuentra en el área correspondiente a una magnitud M_I 7.7. Abreviaciones como en figuras previas.	20
Fig. A-20 Resultado de la inversión en datos macrosísmicos para el sismo del 19 de enero de 1900. El mejor ajuste de ubicación epicentral se encuentra en el área correspondiente a una magnitud M_I 6.8. Abreviaciones como en figuras previas.	21
Fig. A-21 Epicentro estimado seleccionado con base en la distribución de intensidades mayores y basado en la evidencia de que se trata de un sismo de subducción del día 24 de enero de 1902. Las abreviaciones de ciudad son: MO, Morelia; T, Toluca; DF, Ciudad de México y otras abreviaciones como en figuras previas.	22
Fig. A-22 Distribución de intensidades (MMI) con respecto a la distancia al epicentro para el sismo del 24 de enero de 1902. Con base en la dispersión de los puntos y una curva de ajuste auxiliar se observa que la M_I es 6.	22
Fig. A-23 Resultado de la inversión en datos macrosísmicos para el sismo del 14 de abril de 1907. El mejor ajuste de ubicación epicentral se encuentra en el área correspondiente a una magnitud M_I 7.0. Abreviaciones como en figuras previas.	23
Fig. A-24 Resultado de la inversión en datos macrosísmicos para el sismo del 26 de marzo de 1908. El mejor ajuste de ubicación epicentral se encuentra en el área correspondiente a una magnitud M_I 6.7. Abreviaciones como en figuras previas.	24

Fig. B-1 Resultado de la inversión del sismo del 3 de octubre de 1864. El valor de error mínimo corresponde a una magnitud M_I 7.4 a una profundidad de 53 km. Abreviaciones como en figuras previas.	25
Fig. B-2 Epicentro estimado seleccionado por la distribución de intensidades mayores y basado en la evidencia de que se trata de un sismo in slab para el sismo del 17 de mayo de 1879 a una profundidad estimada de 69 km. Curvas de profundidad de Pardo y Suárez (1995). Las abreviaciones de ciudad son: PA, Pachuca; T, Toluca; DF, Ciudad de México; CU, Cuernavaca; CH, Chilpancingo; A, Acapulco; X, Xalapa; P, Puebla y O, Oaxaca.	26
Fig. B-3 Distribución de intensidades (MMI) con respecto a la distancia al epicentro para el sismo del 17 de mayo de 1879. Con base en la dispersión de los puntos y una curva de ajuste auxiliar se observa que la M_I está entre 6 y 7.	26
Fig. B-4 Resultado de la inversión del sismo del 19 de julio de 1882. El valor de error mínimo corresponde a una magnitud M_I 7 a una profundidad de 37 km. Abreviaciones como en figuras previas.	27
Fig. B-5 Epicentro estimado seleccionado por la distribución de intensidades mayores y basado en la evidencia de que se trata de un sismo in slab para el sismo del 29 de mayo de 1887 a una profundidad estimada de 28 km. Curvas de profundidad de Pardo y Suárez (1995). Abreviaciones como en figuras previas.	28
Fig. B-6 Distribución de intensidades (MMI) con respecto a la distancia al epicentro para el sismo del 29 de mayo de 1887. Con base en la dispersión de los puntos y una curva de ajuste auxiliar se observa que la M_I es 6.	28
Fig. B-7 Epicentro estimado seleccionado por la distribución de intensidades mayores y basado en la evidencia de que se trata de un sismo in slab para el sismo del 6 de septiembre de 1889 a una profundidad estimada de 20 km. Curvas de profundidad de Pardo y Suárez (1995). Abreviaciones como en figuras previas.	29
Fig. B-8 Distribución de intensidades (MMI) con respecto a la distancia al epicentro para el sismo del 6 de septiembre de 1889. Con base en la dispersión de los puntos y una curva de ajuste auxiliar se observa que la M_I es 6.	29
Fig. B-9 Epicentro estimado seleccionado por la distribución de intensidades mayores y basado en la evidencia de que se trata de un sismo in slab para el sismo del 12 de noviembre de 1894 a una profundidad estimada de 20 km. Curvas de profundidad de Pardo y Suárez (1995). Las abreviaciones de ciudad son: Q, Querétaro y otras abreviaciones como en figuras previas.	30
Fig. B-10 Distribución de intensidades (MMI) con respecto a la distancia al epicentro para el sismo del 12 de noviembre de 1894. Con base en la dispersión de los puntos y una curva de ajuste auxiliar se observa que la M_I es 7.	30
Fig. B-11 Epicentro estimado seleccionado por la distribución de intensidades mayores y basado en la evidencia de que se trata de un sismo in slab para el sismo del 20 de marzo de 1896. Curvas de profundidad de Pardo y Suárez (1995). La variación de intensidades no permite obtener curva de aproximación al existir un rango limitado de intensidades, la distribución es similar a sismos de M_I 6.0 con una profundidad de 59 km.	31
Fig. B-12 Epicentro estimado seleccionado por la distribución de intensidades mayores y basado en la evidencia de que se trata de un sismo in slab para el sismo del 25 de marzo de 1899. Curvas de profundidad de Pardo y Suárez (1995). La distribución de intensidades es similar	

a las del sismo del 21 de octubre de 1995 con una profundidad de 160 km. La magnitud se estima con base a sismos de distribuciones similares como M_l 6.0. Las abreviaciones de ciudad son: V, Villahermosa; TU, Tuxtla Gutiérrez y otras abreviaciones como en figuras previas. **32**

Fig. C-1 Resultado de la inversión en datos macrosísmicos para el sismo del 27 de diciembre de 1568. El mejor ajuste de ubicación epicentral se encuentra en el área donde ocurrió el mayor daño con magnitud M_l 7.2. Las abreviaciones de ciudad son: CO, Colima y GDL, Guadalajara.... **33**

Fig. C-2 Mapa del oeste del Eje Volcánico Transversal Mexicano con falla mapeadas mostradas en líneas negras. Los círculos negros corresponden a las ciudades de Sayula, Zapotitlic y Zapotlán (hoy Ciudad Guzmán) juntas con su intensidad reportada en la escala modificada de Mercalli. El terremoto de 1611 aparentemente tomó lugar en la parte central del graben de Colima con M_l 6.4 estimada. **34**

Fig. C-3 Mapa del oeste del Eje Volcánico Transversal Mexicano con falla mapeadas mostradas en líneas negras. Los círculos negros corresponden a las ciudades de: G, Guadalajara; Zc, Zacoalco; A, Amacueca; S, Sayula y Z, Zapotlán. El terremoto de 1749 aparentemente tomó lugar en la parte norte del graben de Colima con M_l 6.4 estimada. **35**

Fig. C-4 Resultado de la inversión del sismo del 19 de junio de 1858. El valor de error mínimo se ubica en la parte central del Eje Volcánico Transversal Mexicano corresponde a una magnitud M_l 7.6 haciéndolo el sismo de mayor magnitud registrado en el TMVB. Las abreviaciones de ciudad son: CO, Colima; GDL, Guadalajara; PAT, Pátzcuaro; G, Guanajuato; MO, Morelia; Q, Querétaro; T, Toluca; CU, Cuernavaca; DF, Ciudad de México; PA, Pachuca y P, Puebla. **36**

Fig. C-5 Resultado de la inversión del sismo del 11 de febrero de 1875. El valor de error mínimo se ubica en la parte central del Eje Volcánico Transversal Mexicano, corresponde a una magnitud M_l 7.2. Las abreviaciones de ciudad son: TE, Tepic; SCB, San Cristóbal de la Barranca; Z, Zacatecas; AG, Aguascalientes; SA, San Luis Potosí y otras abreviaciones como en figuras previas. **37**

Fig. C-6 Resultado de la inversión en datos macrosísmicos para el sismo del 26 de noviembre de 1887. El mejor ajuste de ubicación epicentral se encuentra en el área correspondiente a una magnitud M_l 6.2. Las abreviaciones de ciudad son: PI, Pinal de Amoles y otras abreviaciones como en figuras previas. **38**

Sismos de subducción

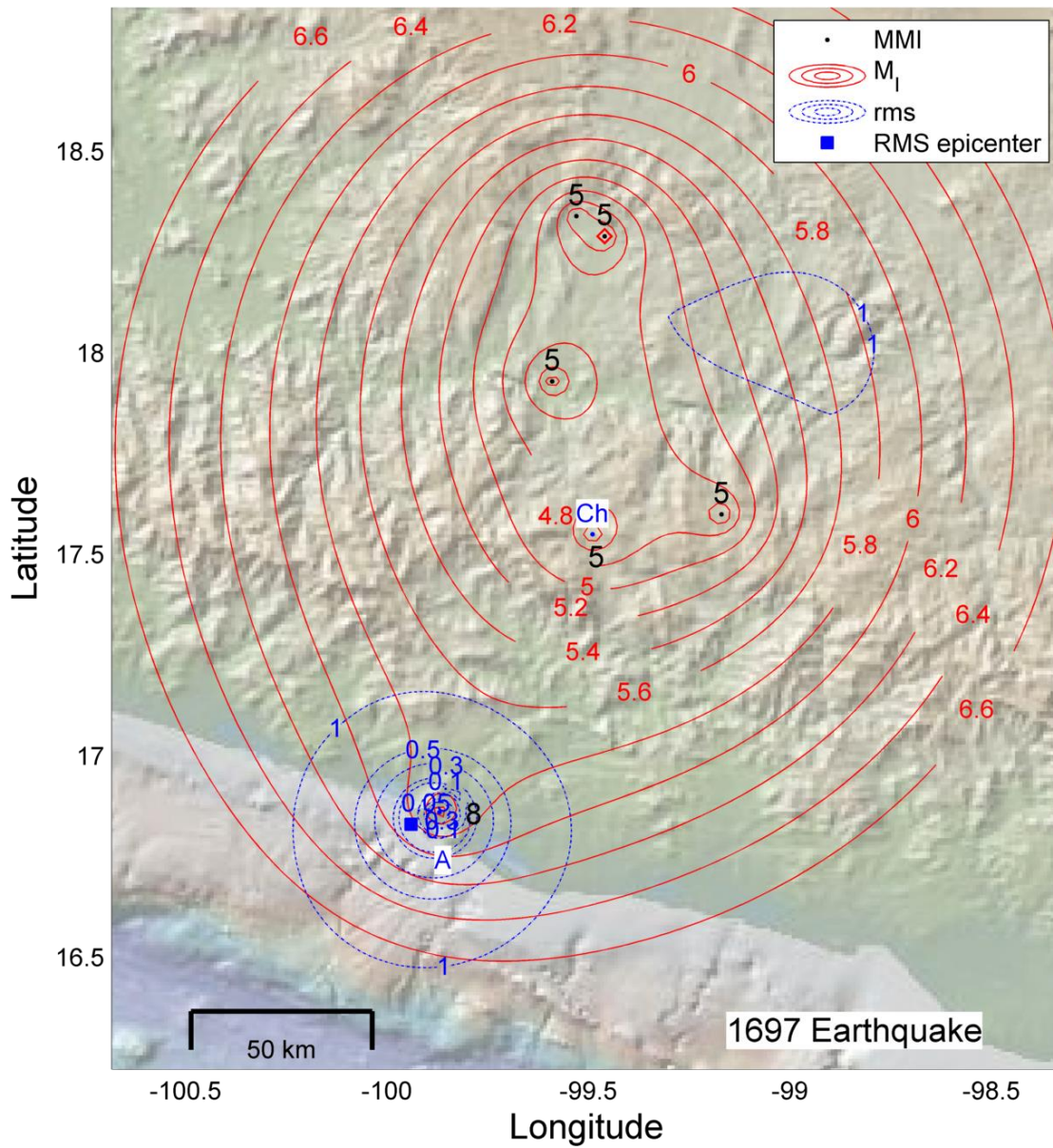


Fig. A-1 Resultado de la inversión en datos macrosísmicos para el sismo del 25 de marzo de 1787. El mejor ajuste de ubicación epicentral se encuentra en el área donde ocurrió el mayor daño con una magnitud $M_I=5.8$ cercano a Acapulco. Las abreviaciones de ciudad son: A, Acapulco y Ch, Chilpancingo.

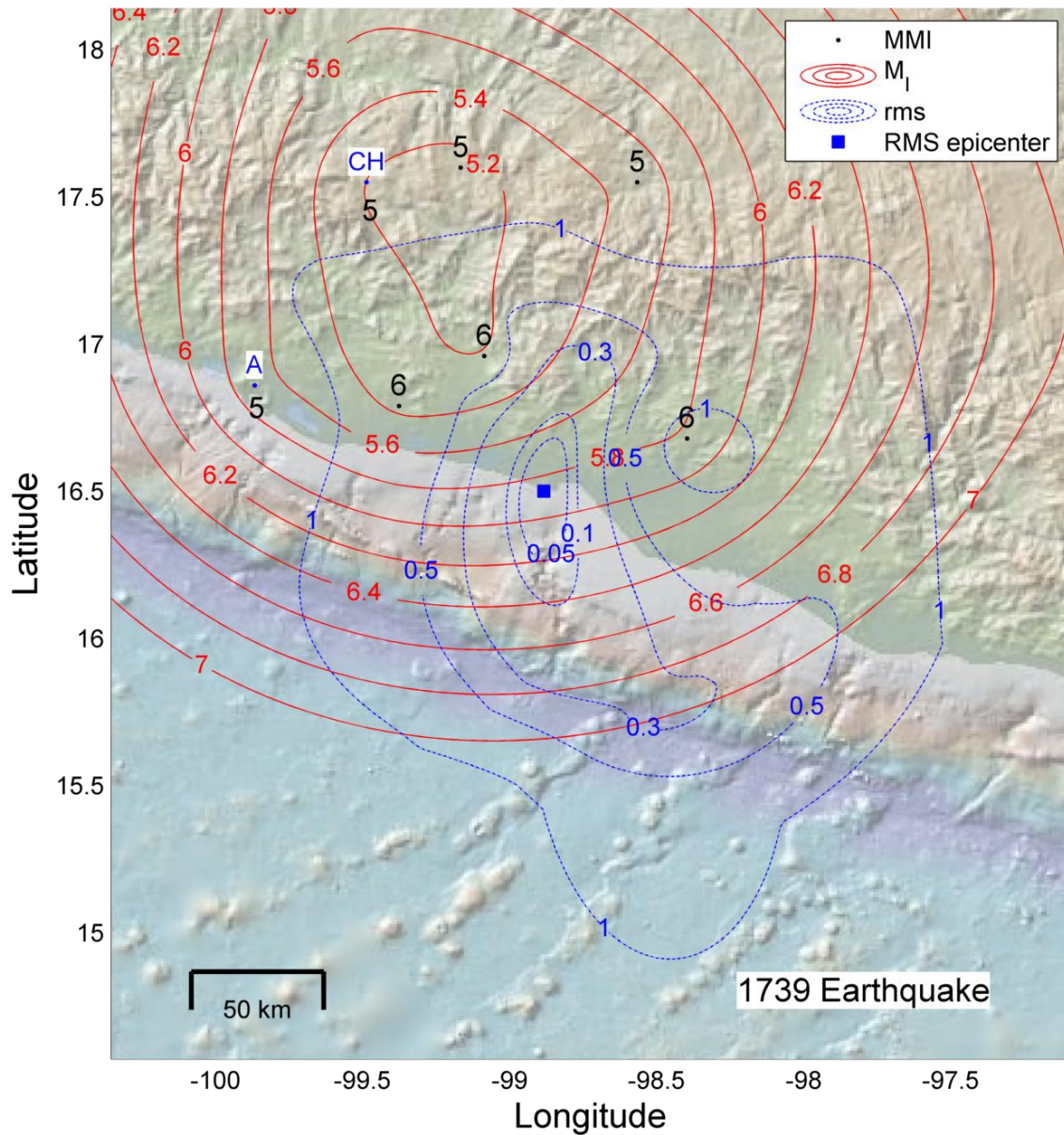


Fig. A-2 Resultado de la inversión en datos macrosísmicos para el sismo del 5 de mayo de 1739. El mejor ajuste de ubicación epicentral se encuentra en el área correspondiente a una magnitud M_l 5.8 cercano a Acapulco. Las abreviaciones de ciudad son: A, Acapulco y CH, Chilpancingo.

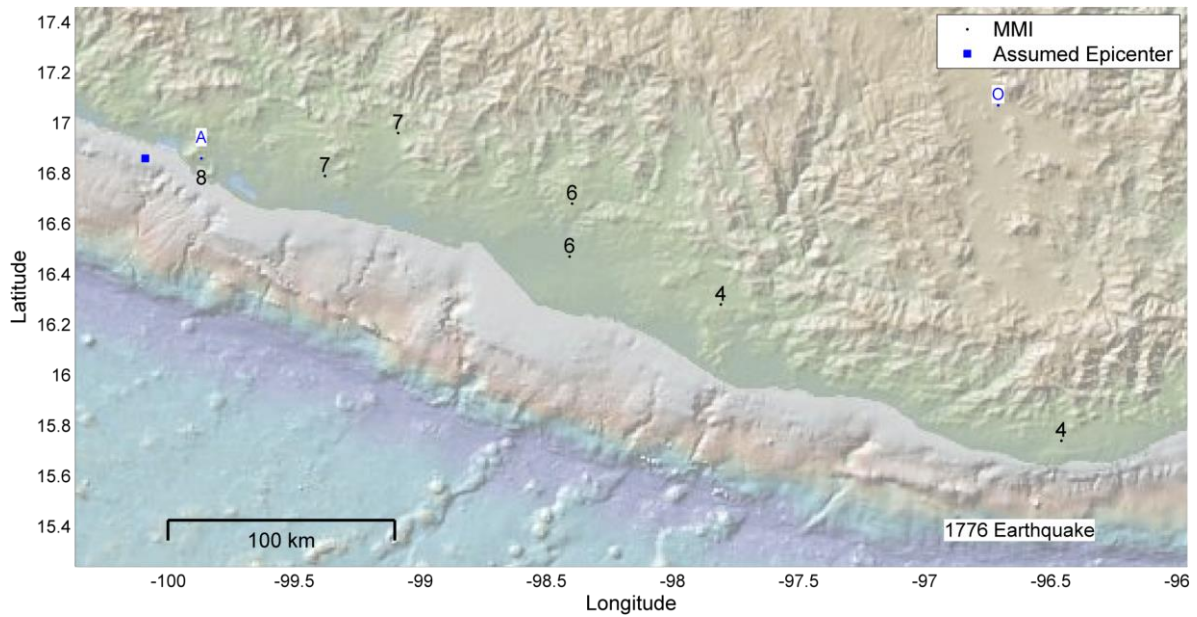


Fig. A-3 Epicentro supuesto seleccionado con base en la distribución de intensidades mayores y basado en la evidencia de que se trata de un sismo de subducción del día 21 de abril de 1776. Las abreviaciones de ciudad son: A, Acapulco y CH, Chilpancingo.

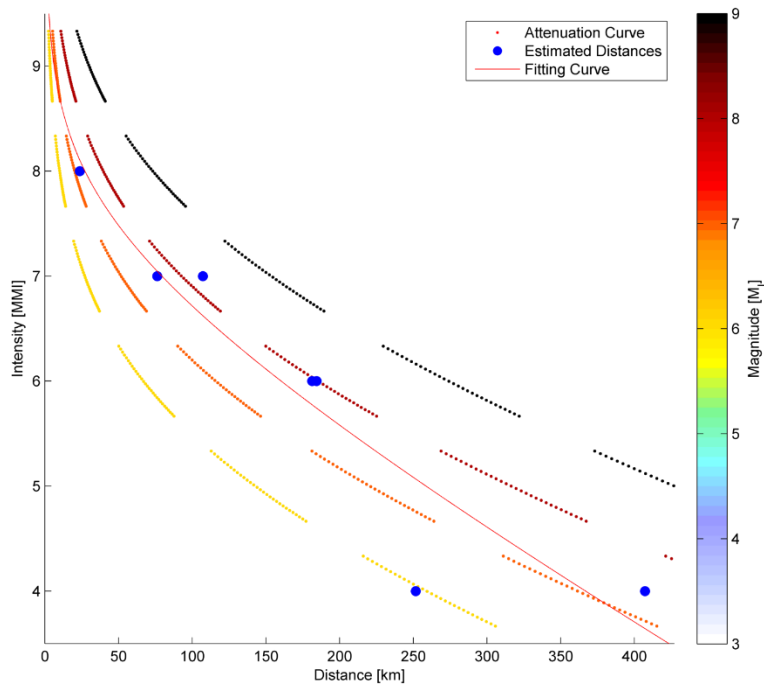


Fig. A-4 Distribución de intensidades (MMI) con respecto a la distancia al epicentro para el sismo del 21 de abril de 1776. Con base en la dispersión de los puntos y una curva de ajuste auxiliar se observa que la M está entre 7 y 8.

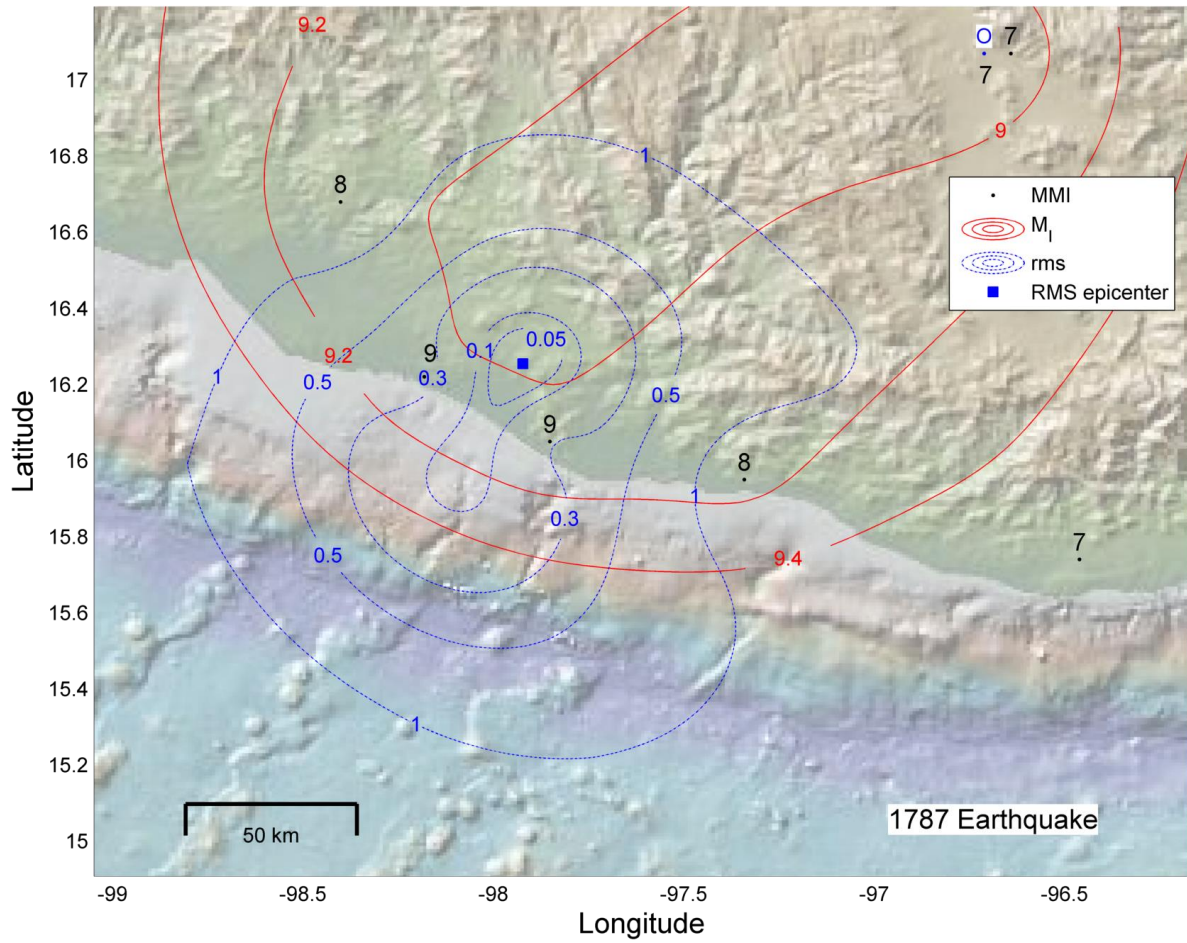


Fig. A-5 Resultado de la inversión en datos macrosísmicos para el sismo del 28 de marzo de 1787. El mejor ajuste de ubicación epicentral se encuentra en el área donde ocurrió el mayor daño. La magnitud (M_l 9) es mayor al que se había estimado previamente. La abreviación de ciudad O corresponde a la ciudad de Oaxaca.

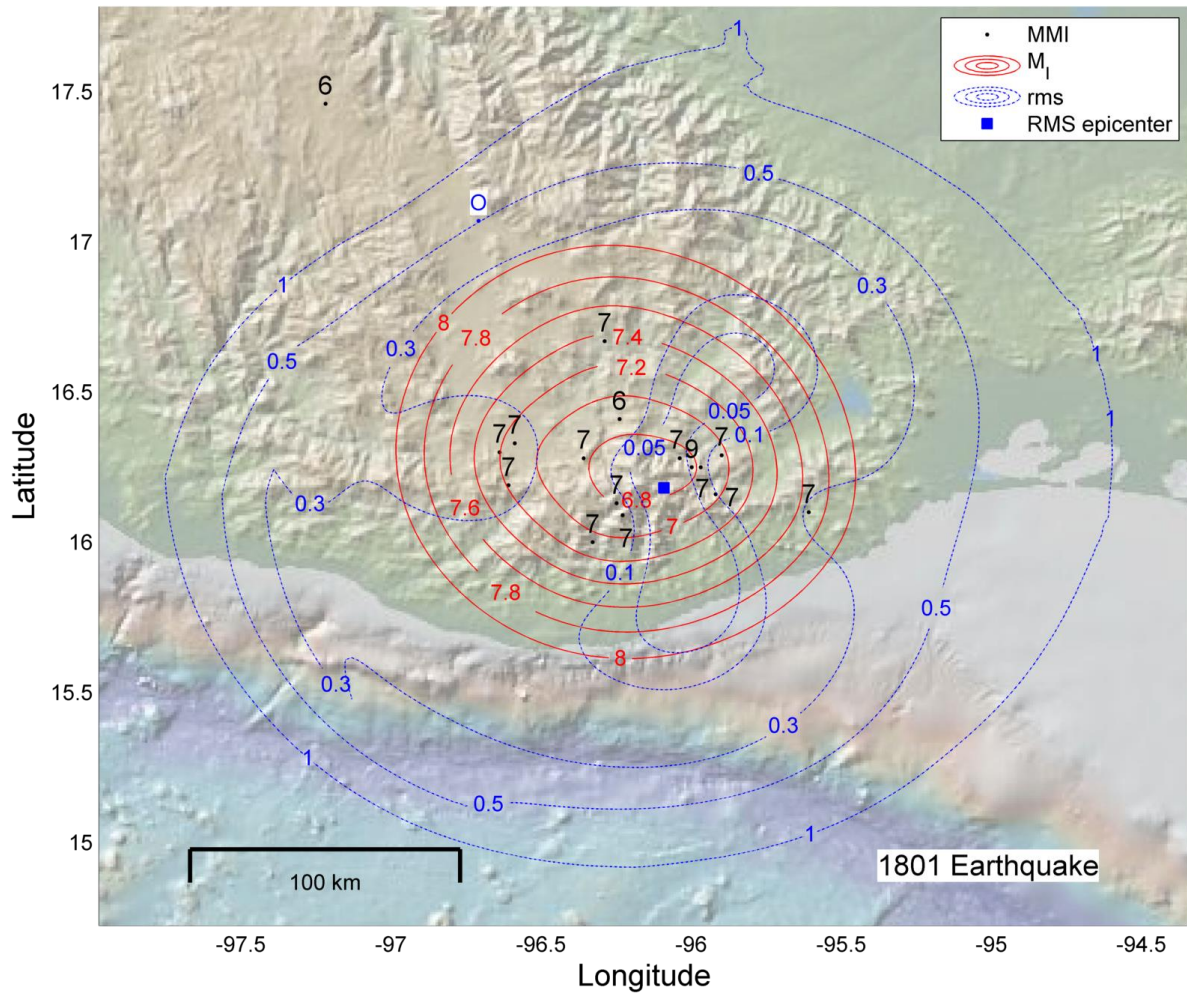


Fig. A-6 Resultado de la inversión en datos macrosísmicos para el sismo del 5 de octubre de 1801. El mejor ajuste de ubicación epicentral se encuentra en el área correspondiente a una magnitud M_l 6.8. La abreviación de ciudad O corresponde a la ciudad de Oaxaca.

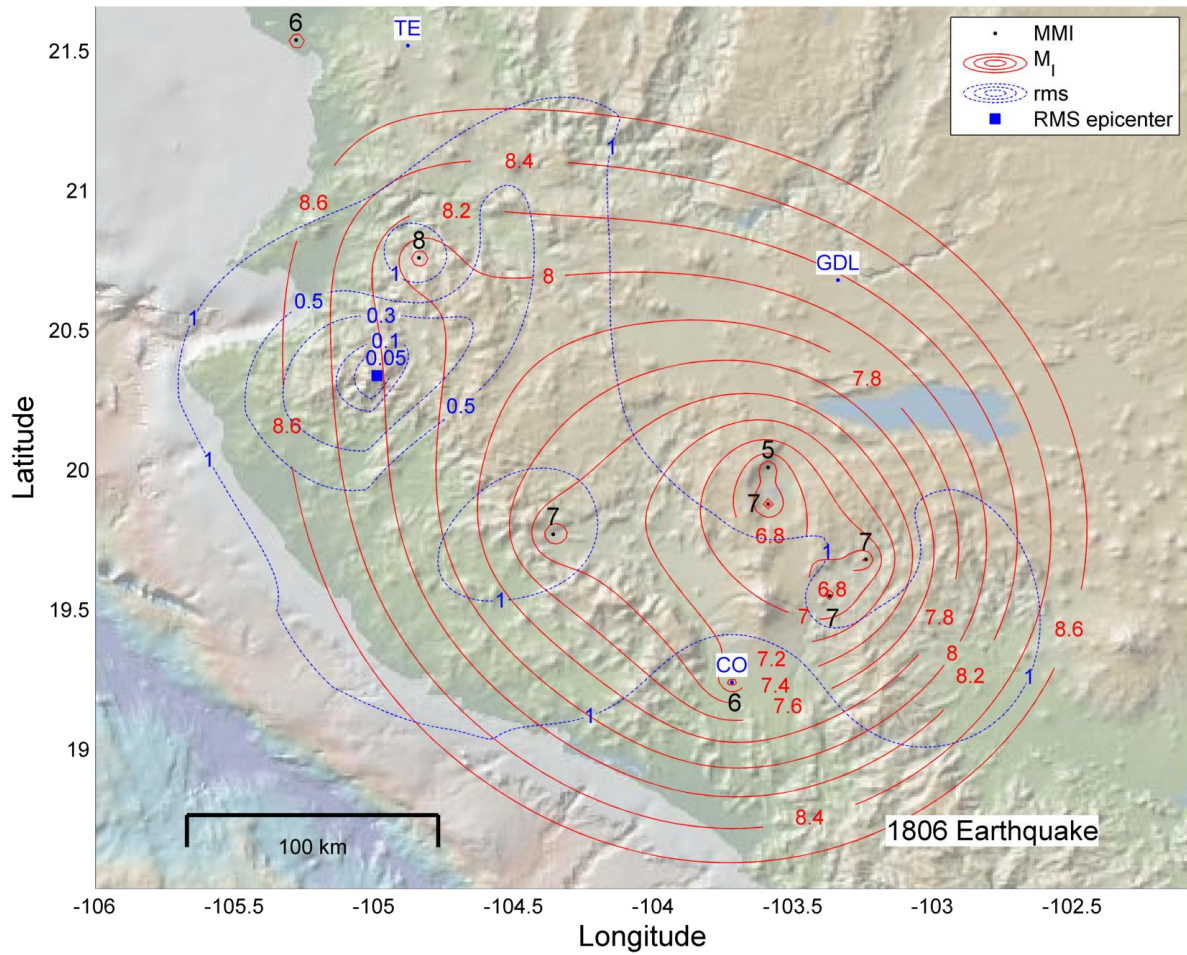


Fig. A-7 Resultado de la inversión en datos macrosísmicos para el sismo del 25 de marzo de 1806. El mejor ajuste de ubicación epicentral se encuentra en el área correspondiente a una magnitud M_I 8.2. Las abreviaciones de ciudad son: CO, Colima; GDL, Guadalajara y TE, Tepic.

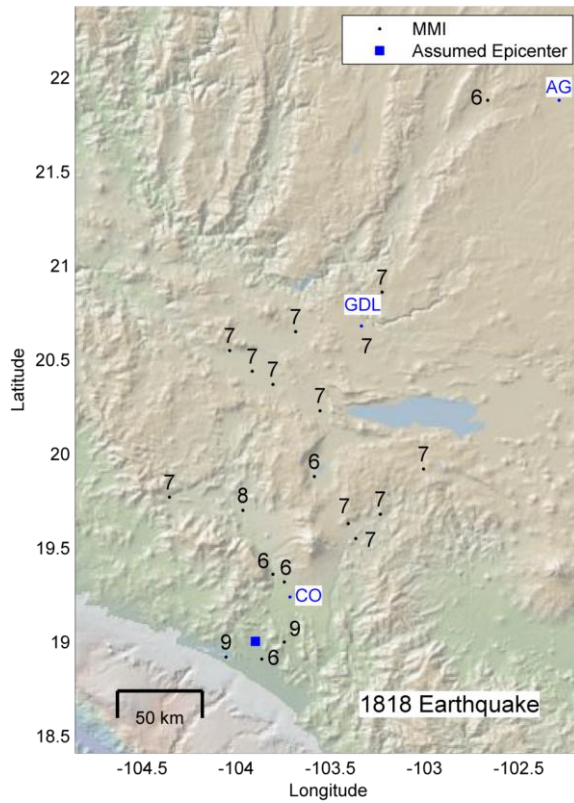


Fig. A-8 Epicentro estimado seleccionado con base en la distribución de intensidades mayores y basado en la evidencia de que se trata de un sismo de subducción del día 31 de mayo de 1818. Las abreviaciones de ciudad son: AG, Aguascalientes y otras abreviaciones como en figuras previas.

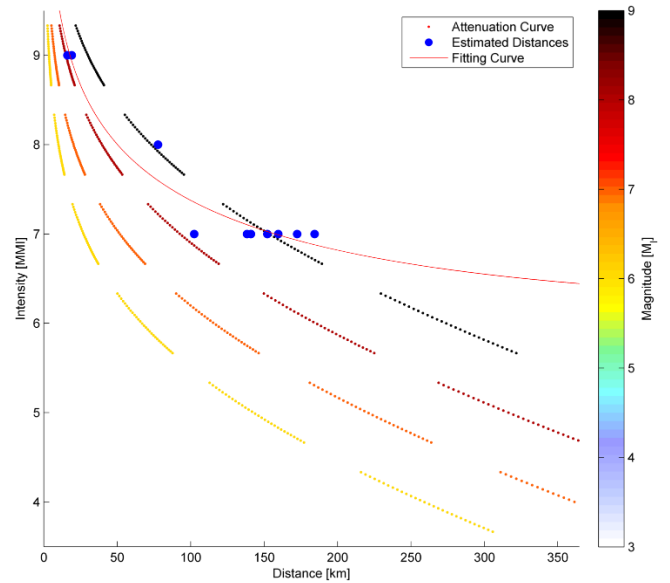


Fig. A-9 Distribución de intensidades (MMI) con respecto a la distancia al epicentro para el sismo del 31 de mayo de 1818. Con base en la dispersión de los puntos y una curva de ajuste auxiliar se observa que la M está entre 7 y 8.

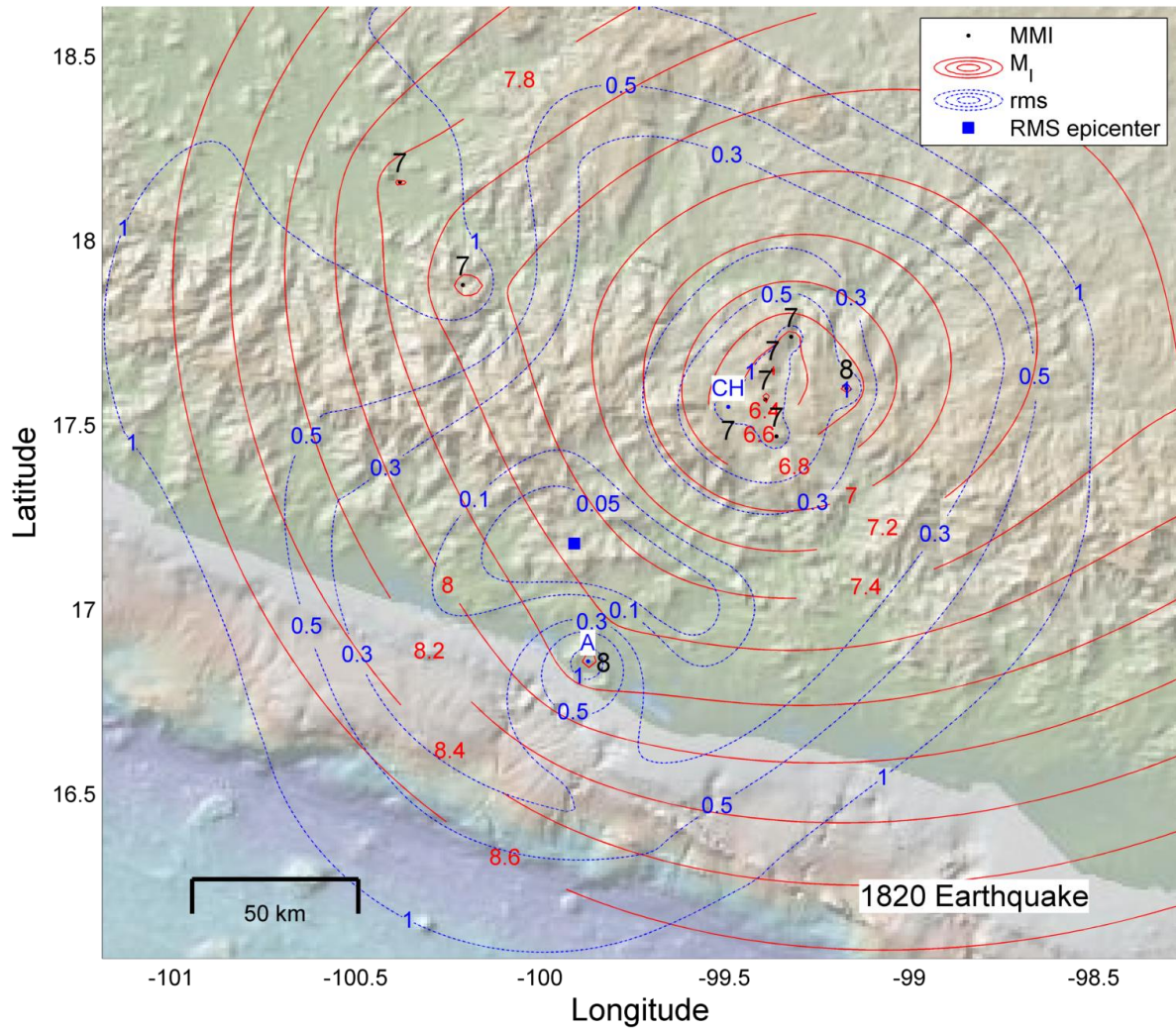


Fig. A-10 Resultado de la inversión en datos macrosísmicos para el sismo del 4 de mayo de 1820. El mejor ajuste de ubicación epicentral se encuentra en el área correspondiente a una magnitud M_l 7.6. Abreviaciones como en figuras previas.

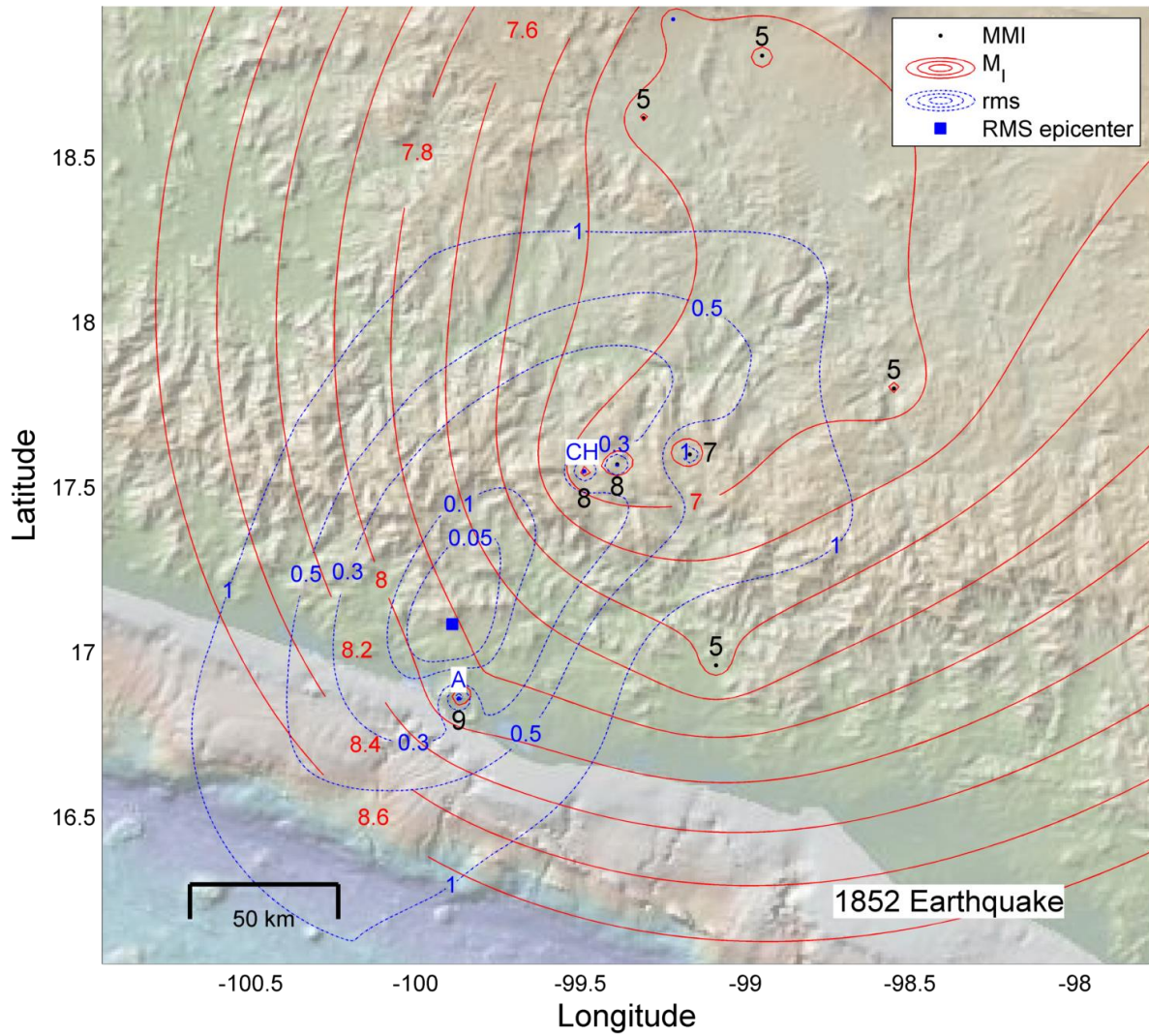


Fig. A-11 Resultado de la inversión en datos macrosísmicos para el sismo del 4 de diciembre de 1852. El mejor ajuste de ubicación epicentral se encuentra en el área correspondiente a una magnitud M_I 7.8. Abreviaciones como en figuras previas.

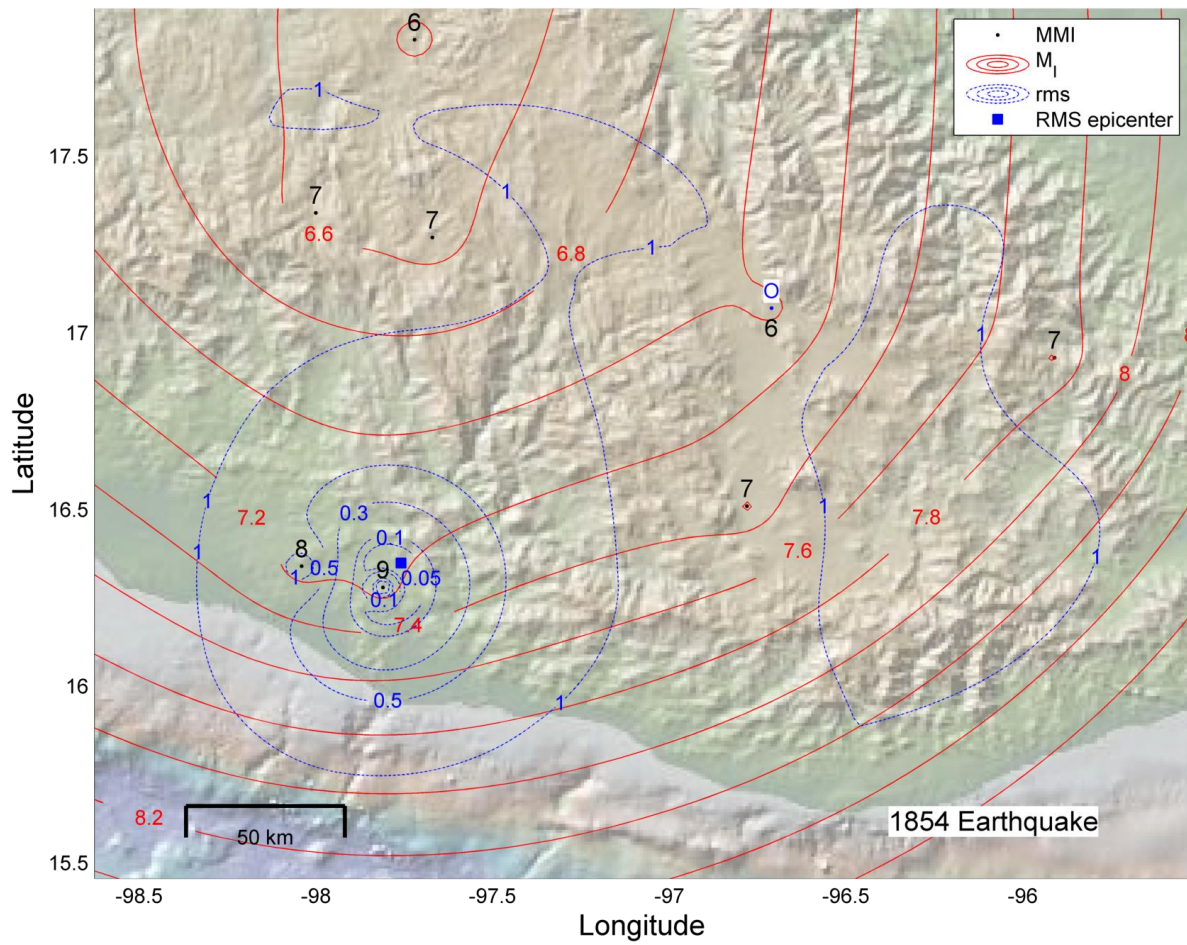


Fig. A-12 Resultado de la inversión en datos macrosísmicos para el sismo del 5 de mayo de 1854. El mejor ajuste de ubicación epicentral se encuentra en el área correspondiente a una magnitud M_l 7.2. Abreviaciones como en figuras previas.

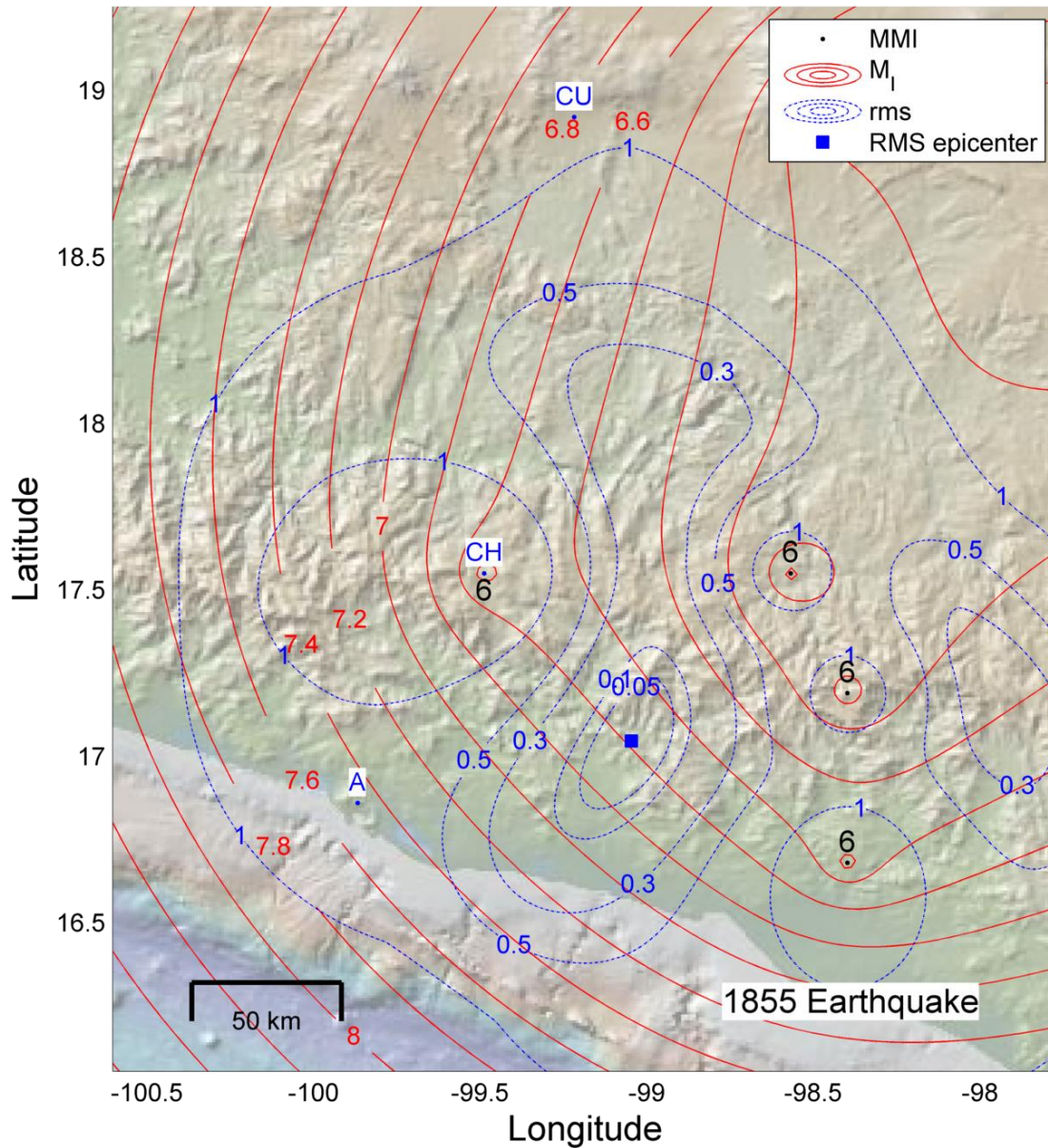


Fig. A-13 Resultado de la inversión en datos macrosísmicos para el sismo del 1 de febrero de 1855. El mejor ajuste de ubicación epicentral se encuentra en el área correspondiente a una magnitud M_I 6.6. Las abreviaciones de ciudad son: CU, Cuernavaca y otras abreviaciones como en figuras previas.

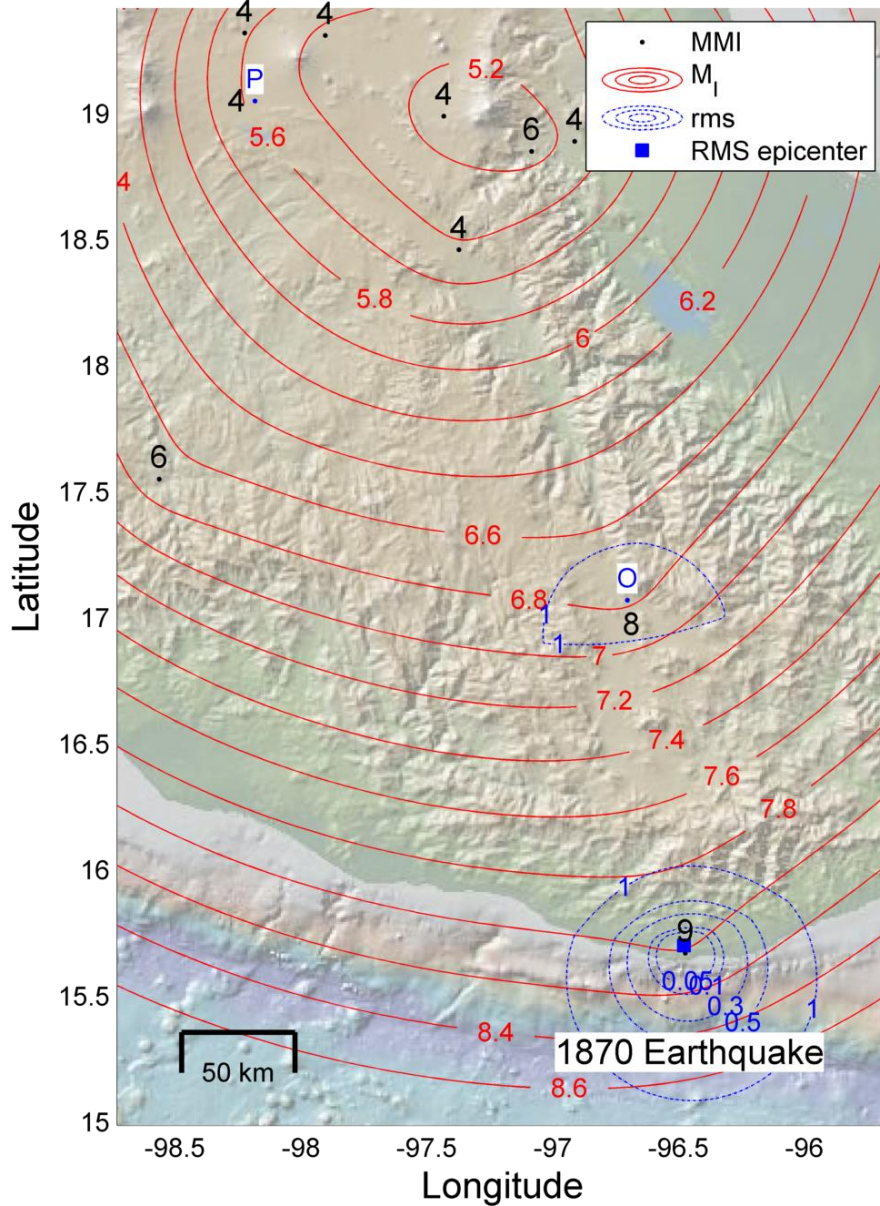


Fig. A-14 Resultado de la inversión en datos macrosísmicos para el sismo del 11 de mayo de 1870. El mejor ajuste de ubicación epicentral se encuentra en el área correspondiente a una magnitud M_l 8. Las abreviaciones de ciudad son: P, Puebla y O, Oaxaca.

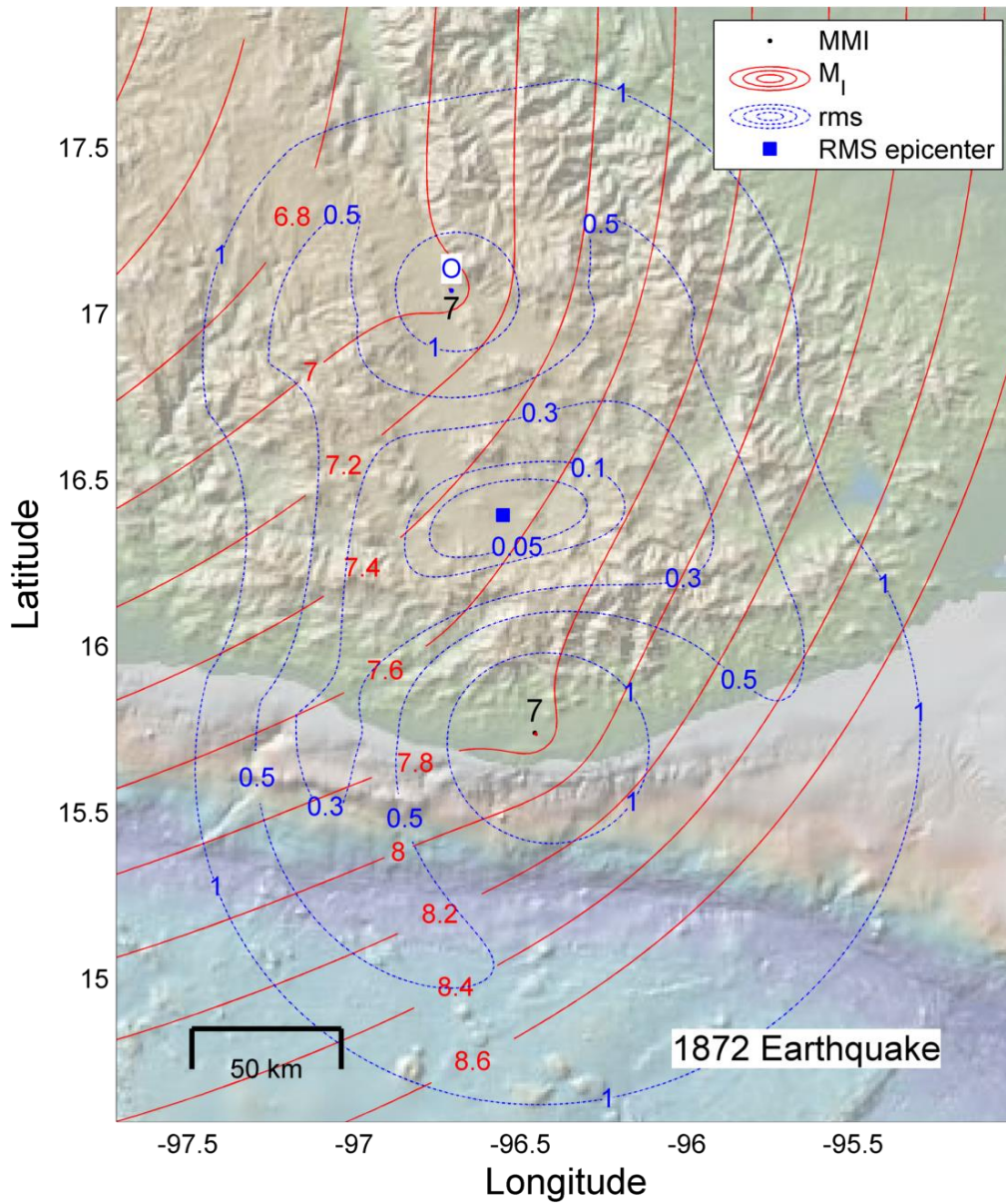


Fig. A-15 Resultado de la inversión en datos macrosísmicos para el sismo del 27 de marzo de 1872. El mejor ajuste de ubicación epicentral se encuentra en el área correspondiente a una magnitud M_l 7.5. Abreviaciones como en figuras previas.

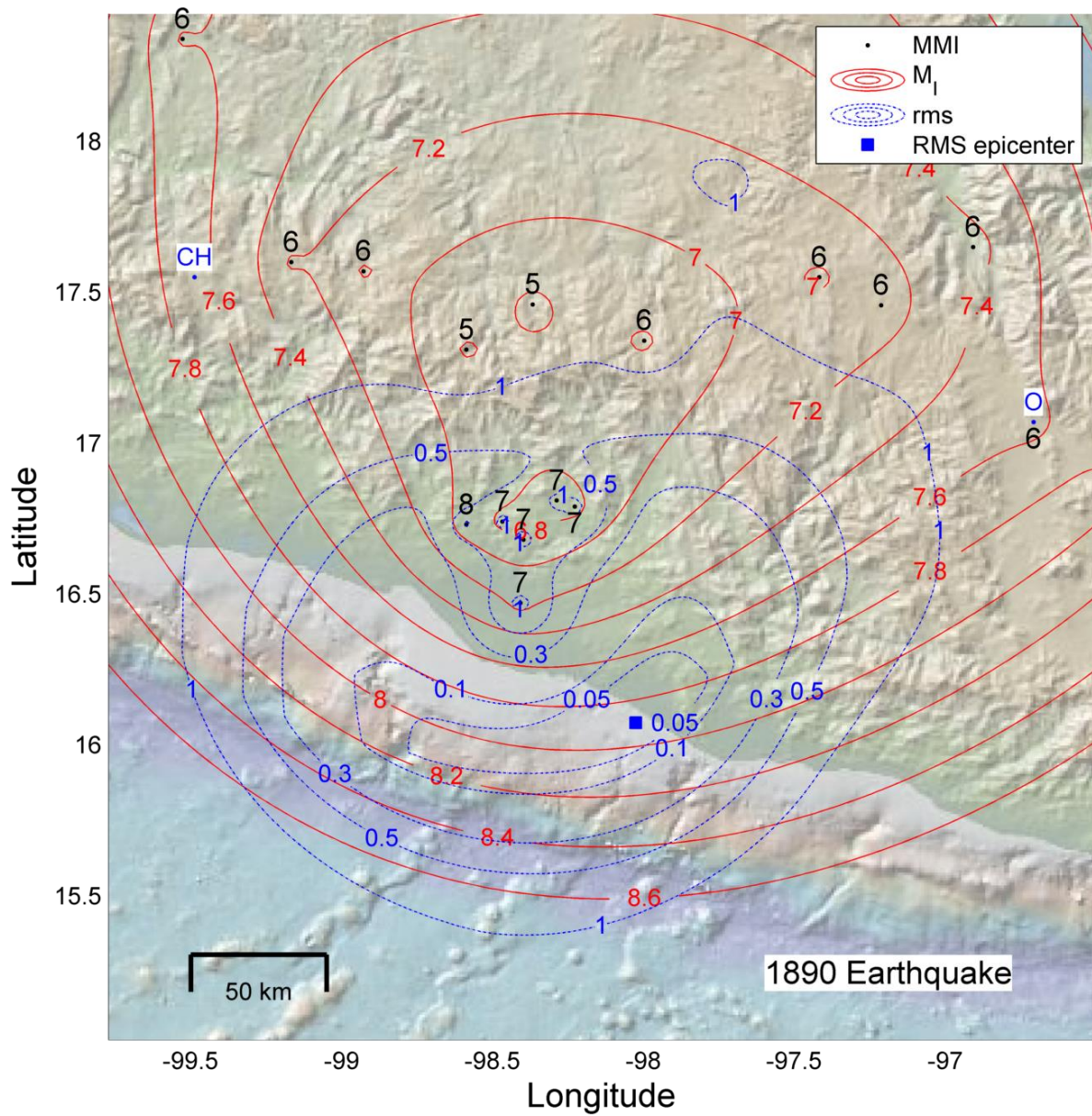


Fig. A-16 Resultado de la inversión en datos macrosísmicos para el sismo del 2 de diciembre de 1890. El mejor ajuste de ubicación epicentral se encuentra en el área correspondiente a una magnitud M_1 8.0. Abreviaciones como en figuras previas.

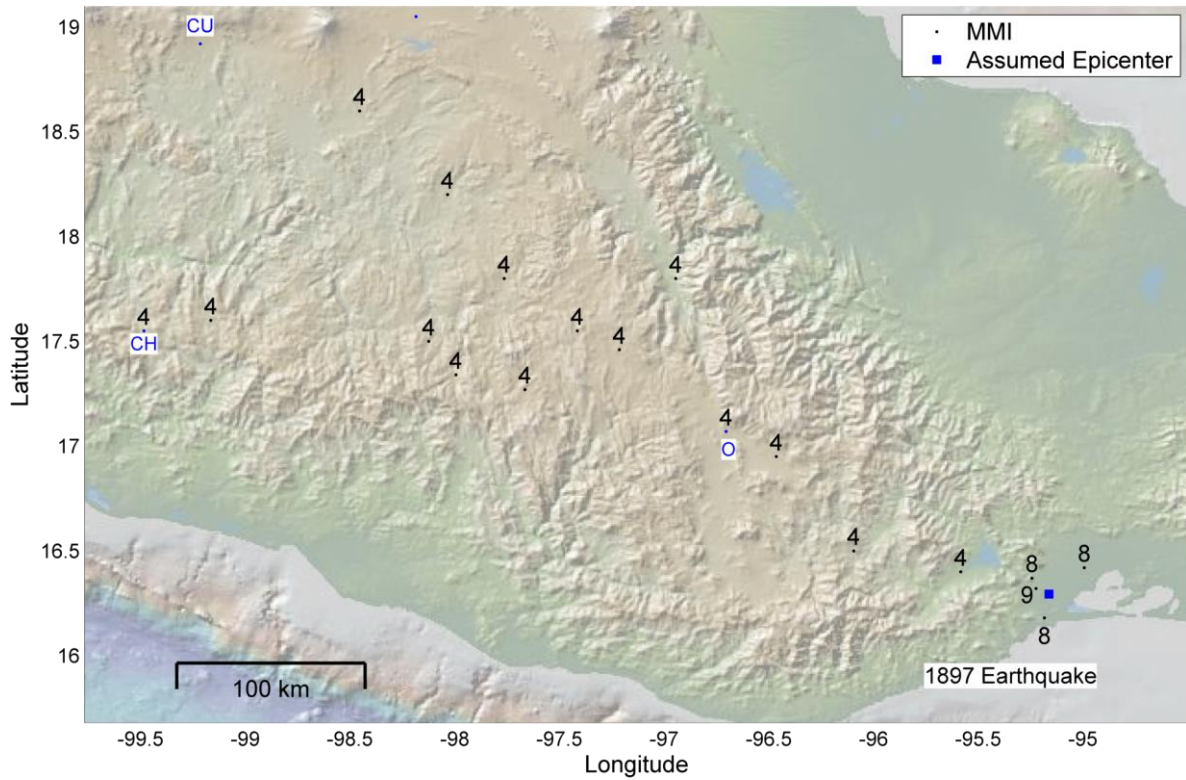


Fig. A-17 Epicentro estimado seleccionado con base en la distribución de intensidades mayores y basado en la evidencia de que se trata de un sismo de subducción del día 5 de junio de 1897. Las abreviaciones de ciudad son como en figuras previas.

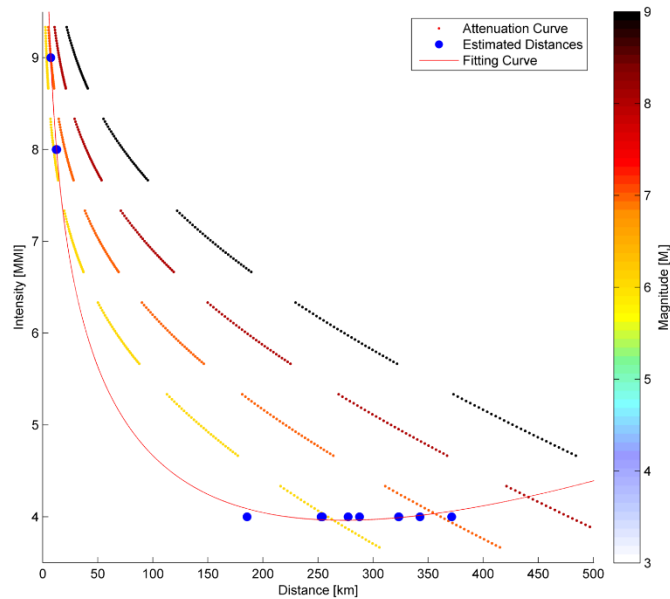


Fig. A-18 Distribución de intensidades (MMI) con respecto a la distancia al epicentro para el sismo del 5 de junio de 1897. Con base en la dispersión de los puntos y una curva de ajuste auxiliar se observa que la M_i está entre 6 y 7.

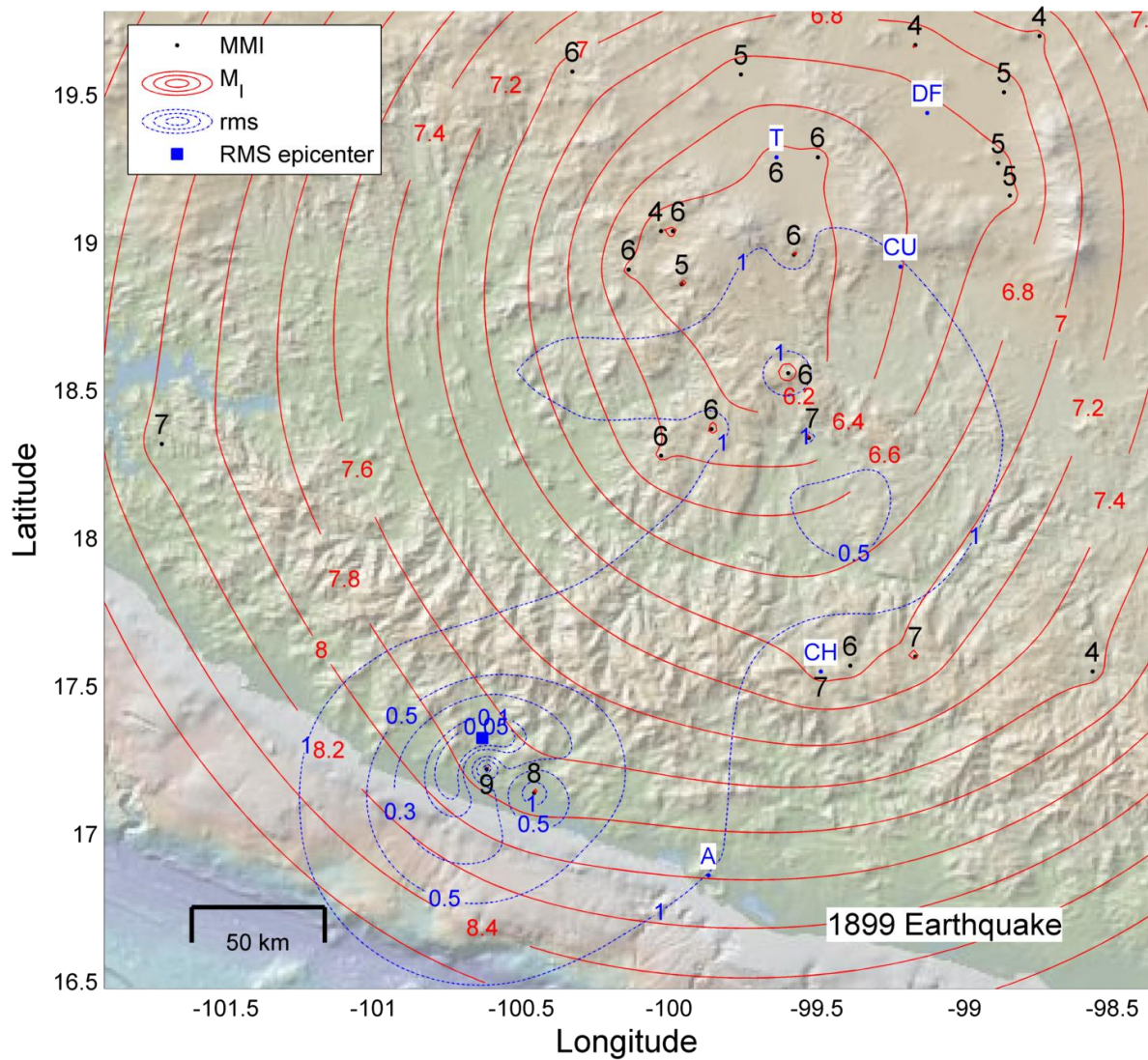


Fig. A-19 Resultado de la inversión en datos macrosísmicos para el sismo del 24 de enero de 1899. El mejor ajuste de ubicación epicentral se encuentra en el área correspondiente a una magnitud M_l 7.7. Abreviaciones como en figuras previas.

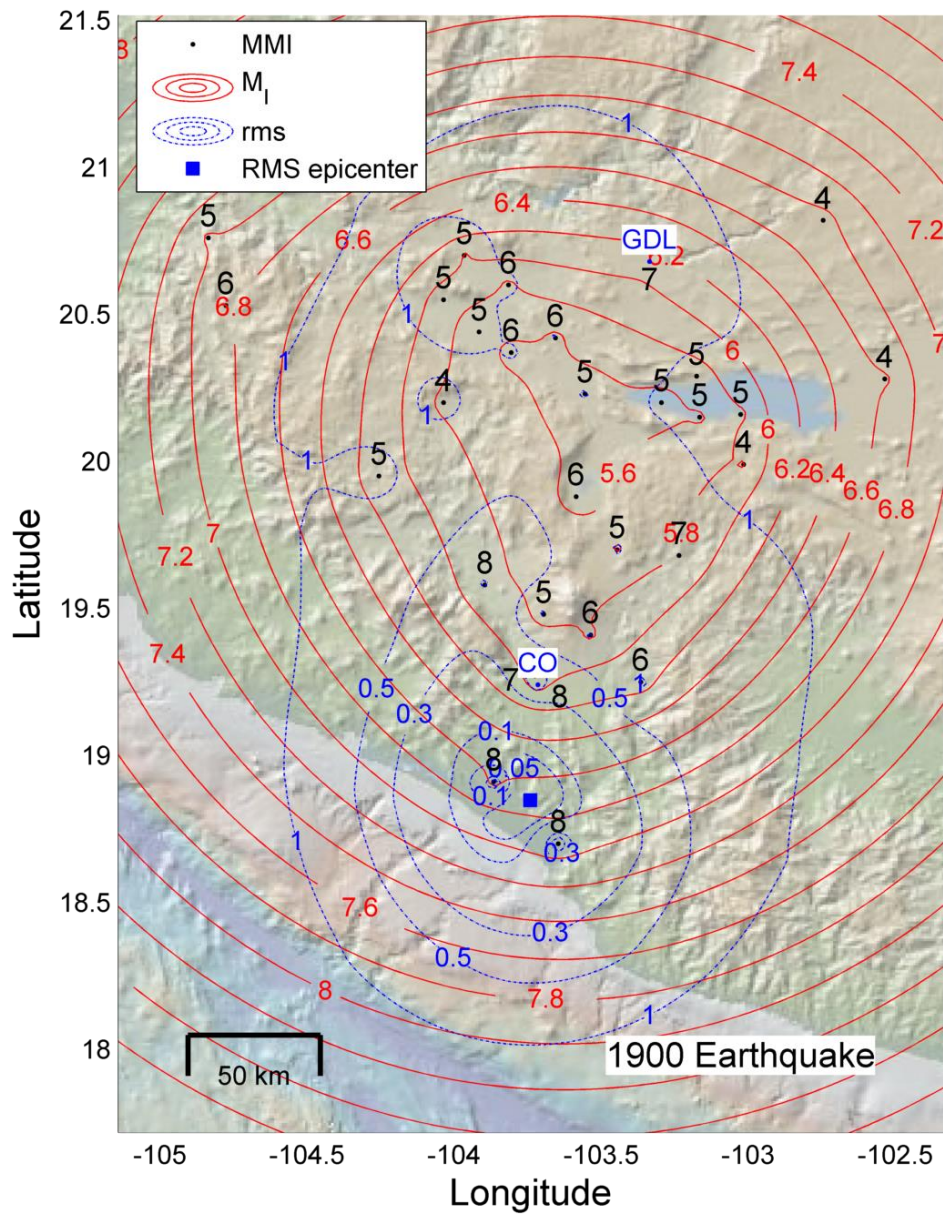


Fig. A-20 Resultado de la inversión en datos macrosísmicos para el sismo del 19 de enero de 1900. El mejor ajuste de ubicación epicentral se encuentra en el área correspondiente a una magnitud M_l 6.8. Abreviaciones como en figuras previas.

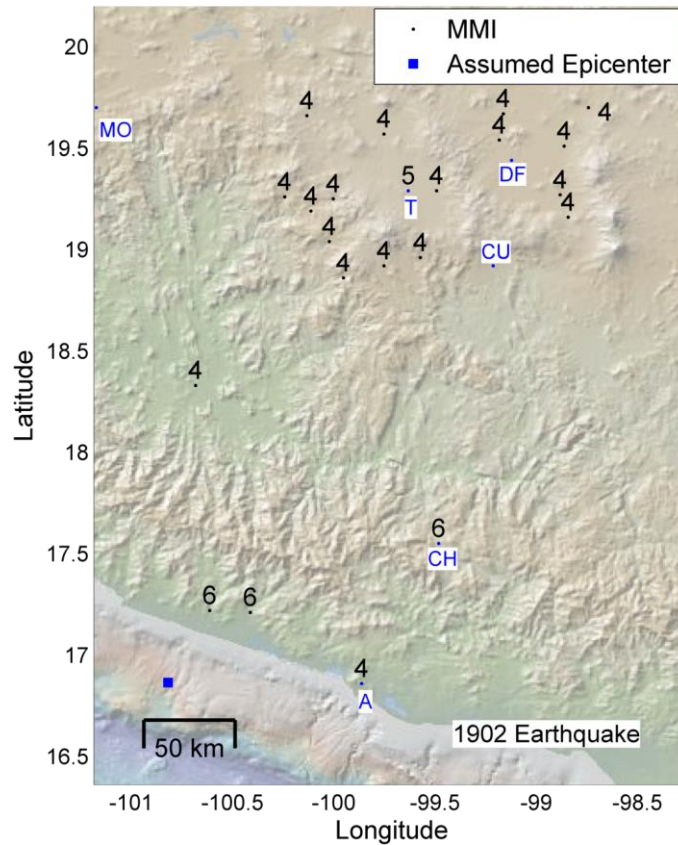


Fig. A-21 Epicentro estimado seleccionado con base en la distribución de intensidades mayores y basado en la evidencia de que se trata de un sismo de subducción del día 24 de enero de 1902. Las abreviaciones de ciudad son: MO, Morelia; T, Toluca; DF, Ciudad de México y otras abreviaciones como en figuras previas.

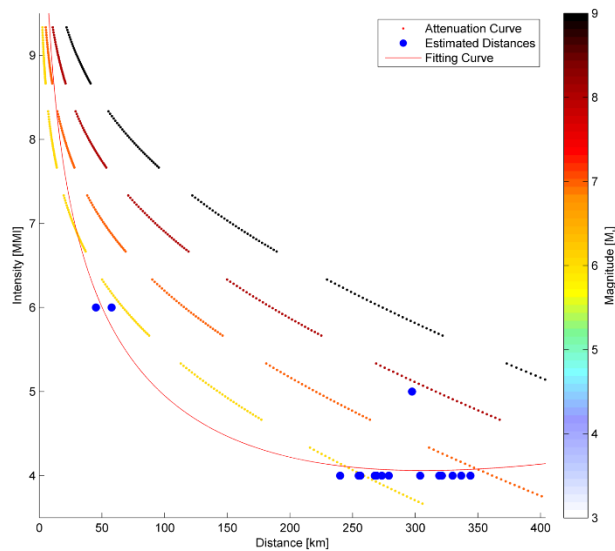


Fig. A-22 Distribución de intensidades (MMI) con respecto a la distancia al epicentro para el sismo del 24 de enero de 1902. Con base en la dispersión de los puntos y una curva de ajuste auxiliar se observa que la M_i es 6.

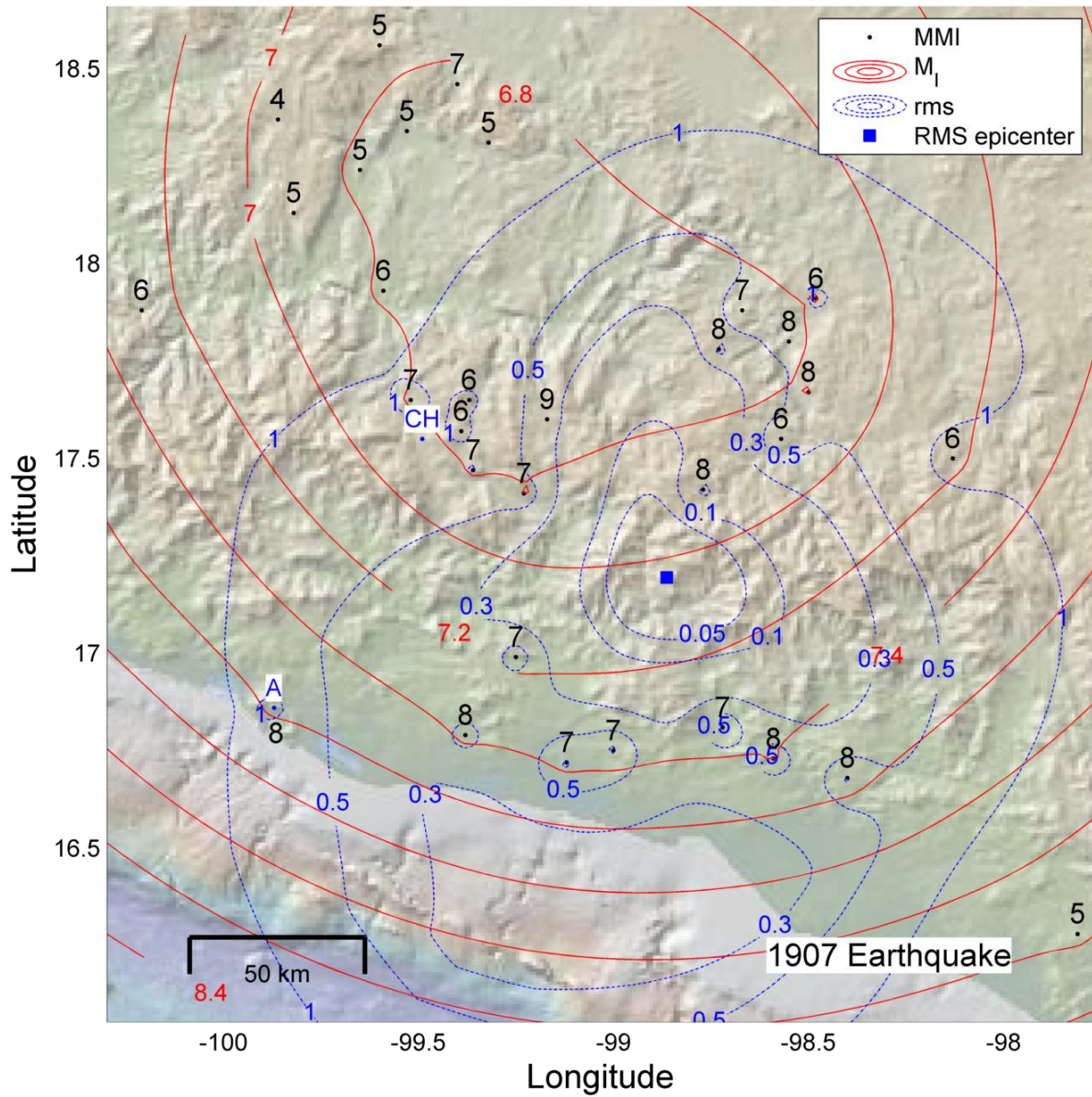


Fig. A-23 Resultado de la inversión en datos macrosísmicos para el sismo del 14 de abril de 1907. El mejor ajuste de ubicación epicentral se encuentra en el área correspondiente a una magnitud M_1 7.0. Abreviaciones como en figuras previas.

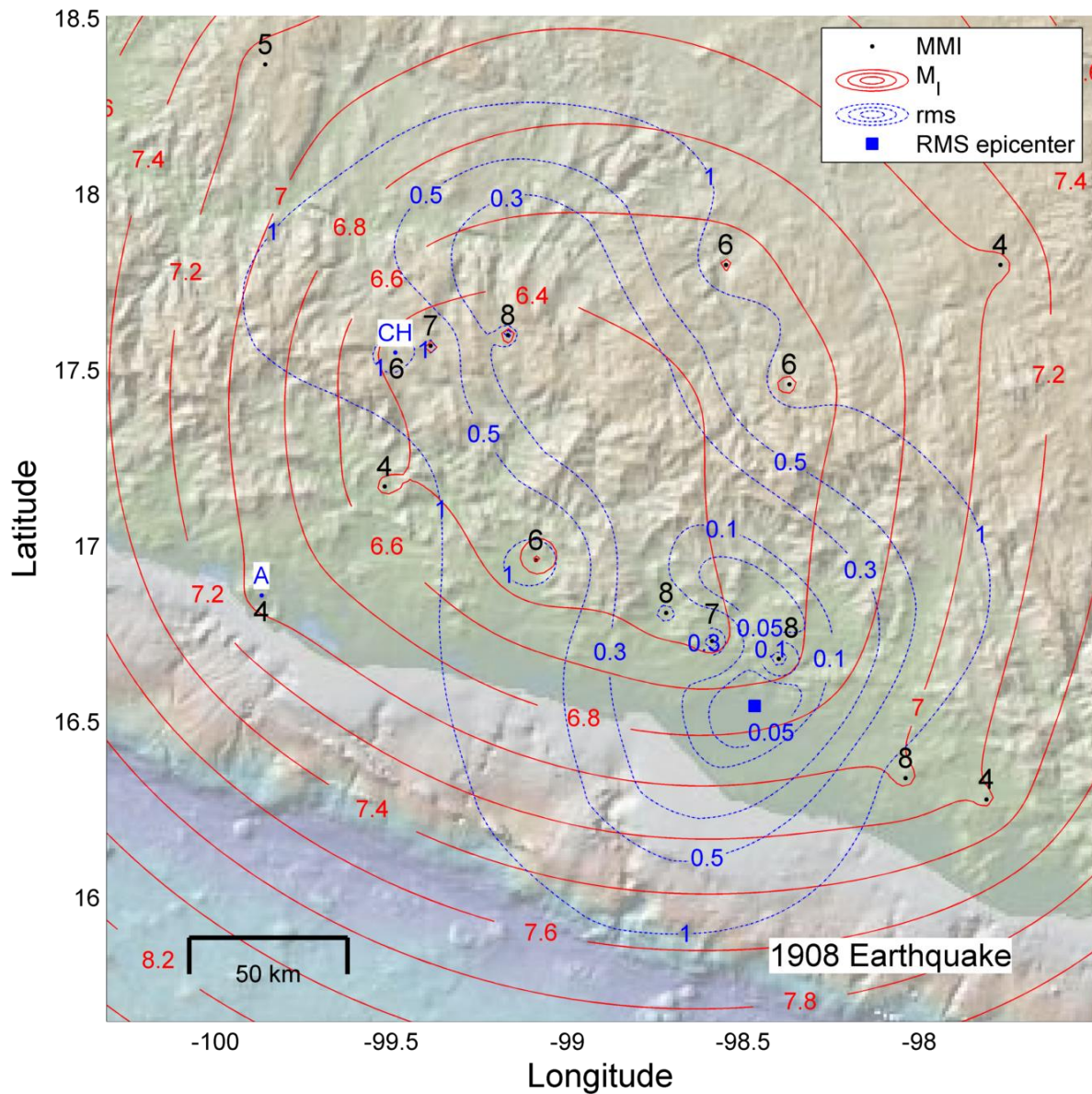


Fig. A-24 Resultado de la inversión en datos macrosísmicos para el sismo del 26 de marzo de 1908. El mejor ajuste de ubicación epicentral se encuentra en el área correspondiente a una magnitud M_l 6.7. Abreviaciones como en figuras previas.

Sismos en el Slab

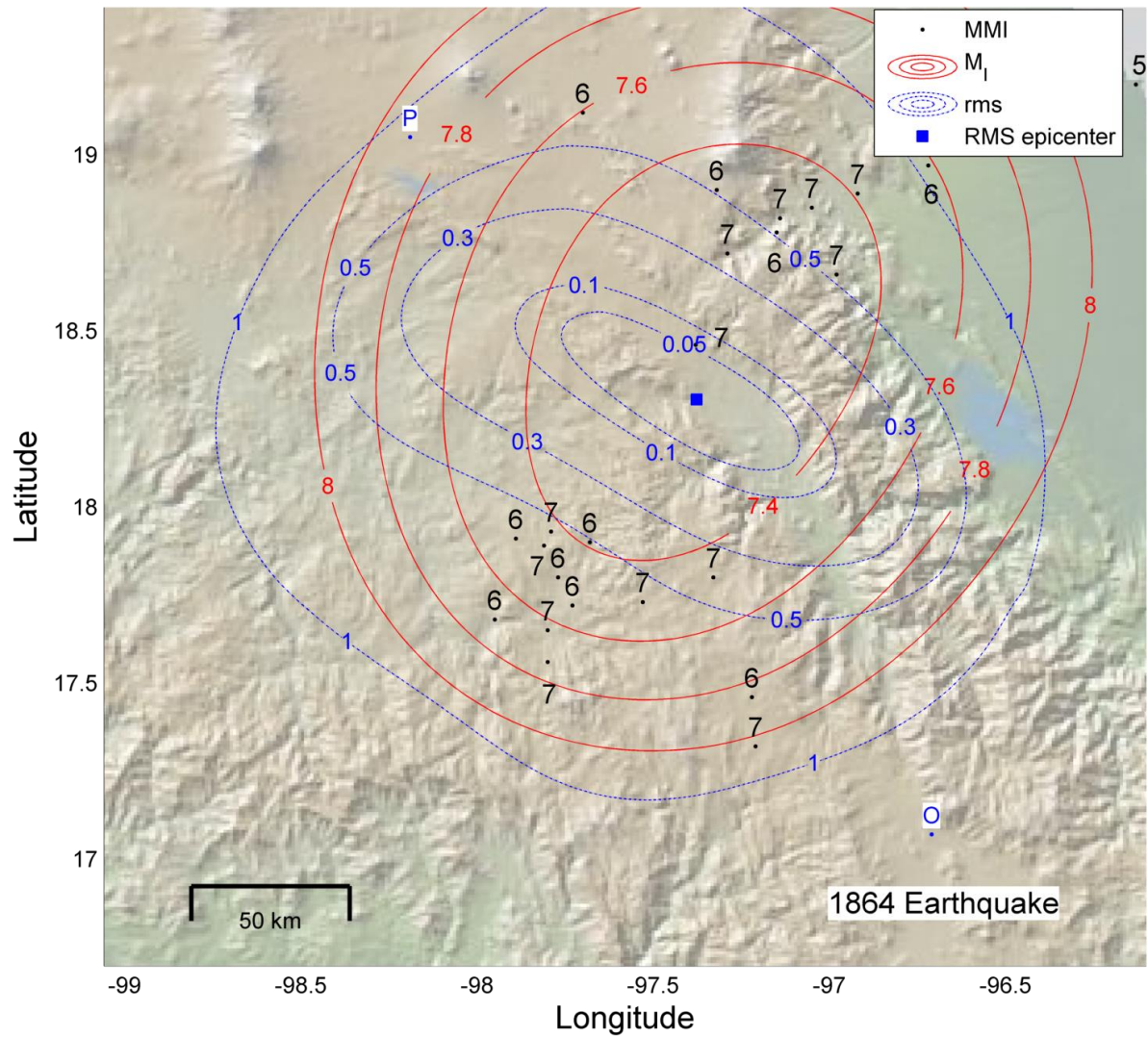


Fig. B-1 Resultado de la inversión del sismo del 3 de octubre de 1864. El valor de error mínimo corresponde a una magnitud M_l 7.4 a una profundidad de 53 km. Abreviaciones como en figuras previas.

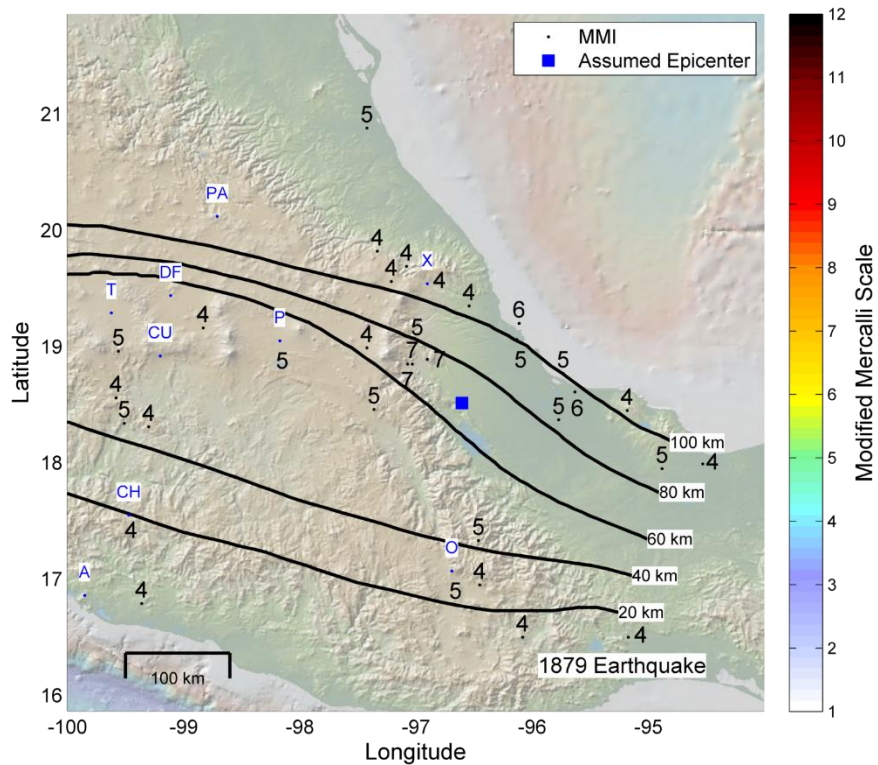


Fig. B-2 Epicentro estimado seleccionado por la distribución de intensidades mayores y basado en la evidencia de que se trata de un sismo in slab para el sismo del 17 de mayo de 1879 a una profundidad estimada de 69 km. Curvas de profundidad de Pardo y Suárez (1995). Las abreviaciones de ciudad son: PA, Pachuca; T, Toluca; DF, Ciudad de México; CU, Cuernavaca; CH, Chilpancingo; A, Acapulco; X, Xalapa; P, Puebla y O, Oaxaca.

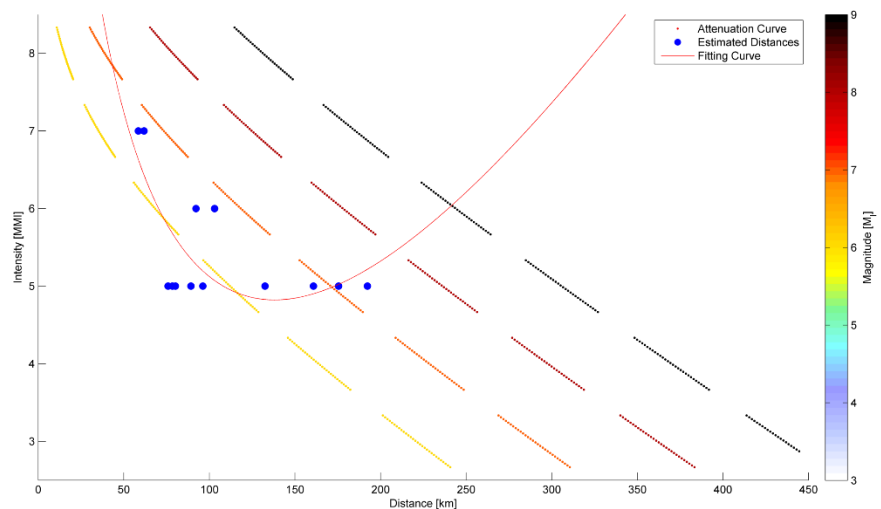


Fig. B-3 Distribución de intensidades (MMI) con respecto a la distancia al epicentro para el sismo del 17 de mayo de 1879. Con base en la dispersión de los puntos y una curva de ajuste auxiliar se observa que la M_l está entre 6 y 7.

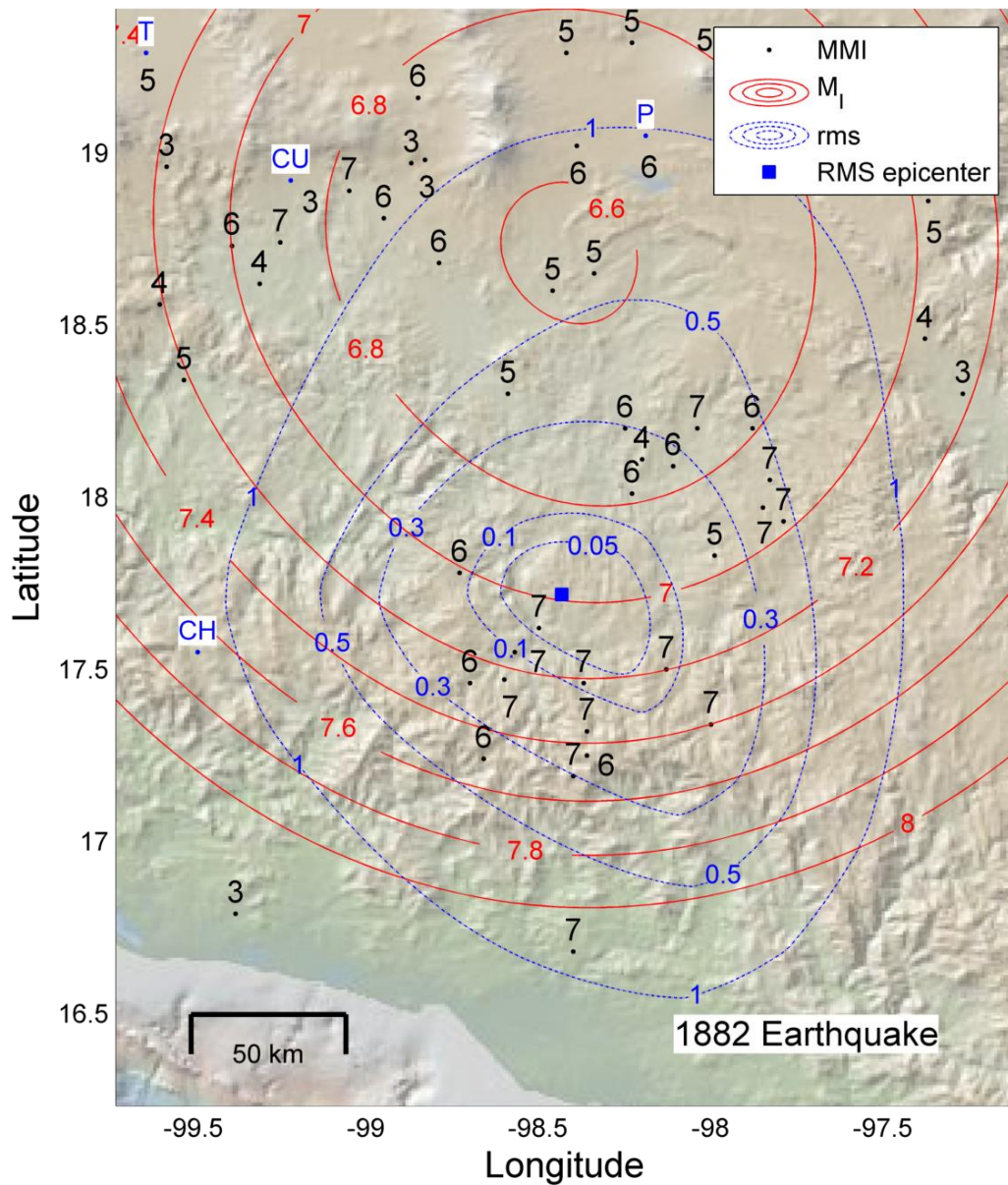


Fig. B-4 Resultado de la inversión del sismo del 19 de julio de 1882. El valor de error mínimo corresponde a una magnitud M_1 7 a una profundidad de 37 km. Abreviaciones como en figuras previas.

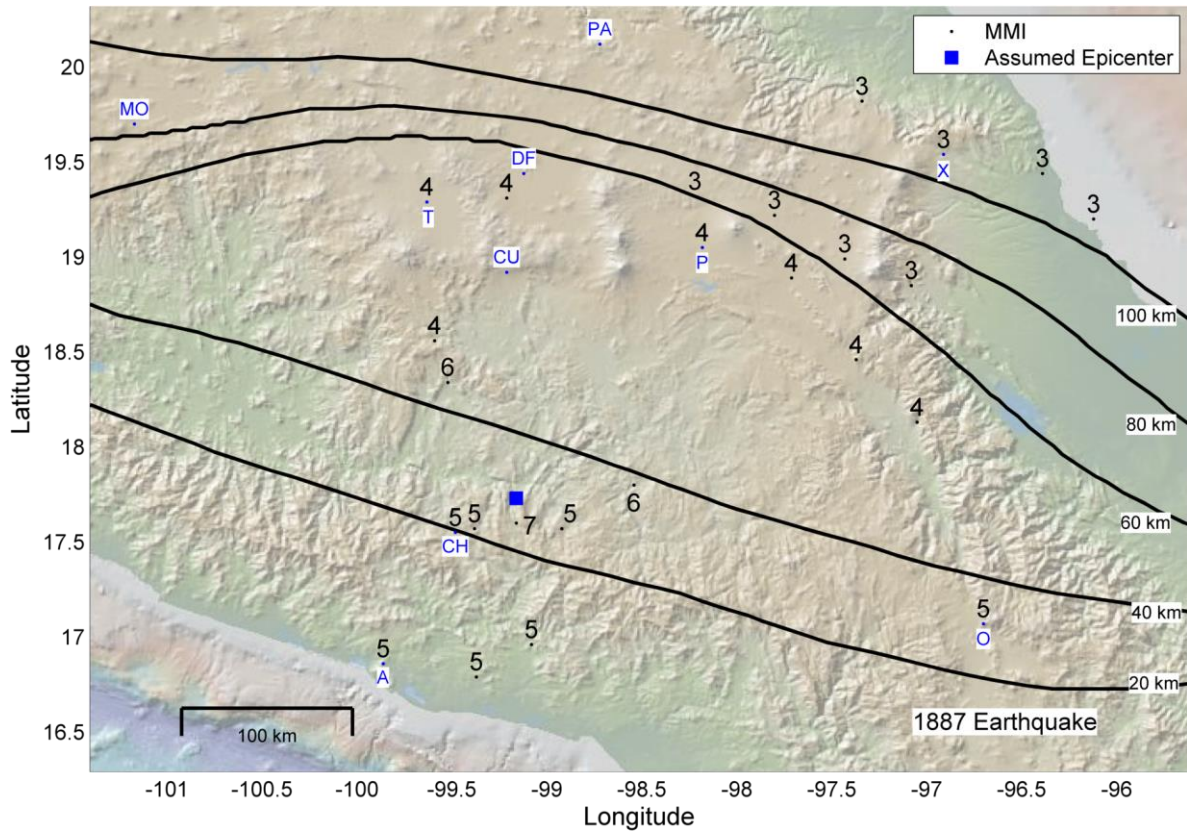


Fig. B-5 Epicentro estimado seleccionado por la distribución de intensidades mayores y basado en la evidencia de que se trata de un sismo in slab para el sismo del 29 de mayo de 1887 a una profundidad estimada de 28 km. Curvas de profundidad de Pardo y Suárez (1995). Abreviaciones como en figuras previas.

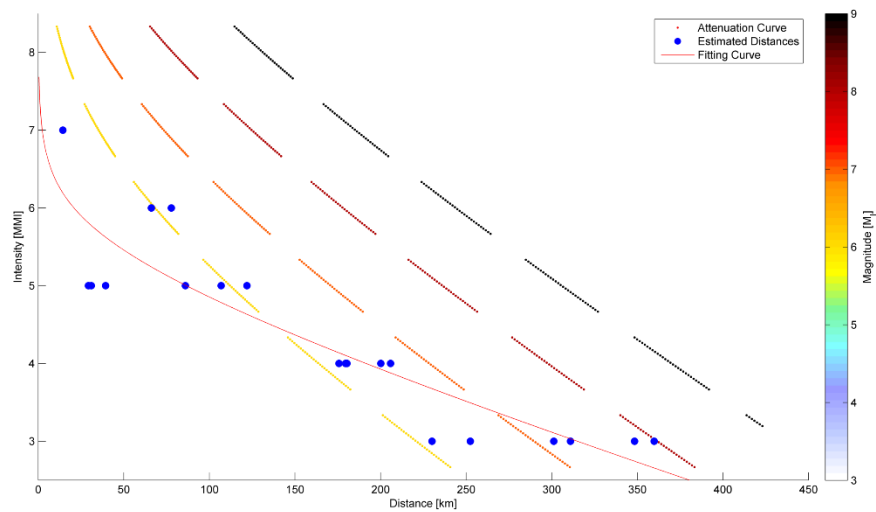


Fig. B-6 Distribución de intensidades (MMI) con respecto a la distancia al epicentro para el sismo del 29 de mayo de 1887. Con base en la dispersión de los puntos y una curva de ajuste auxiliar se observa que la M_I es 6.

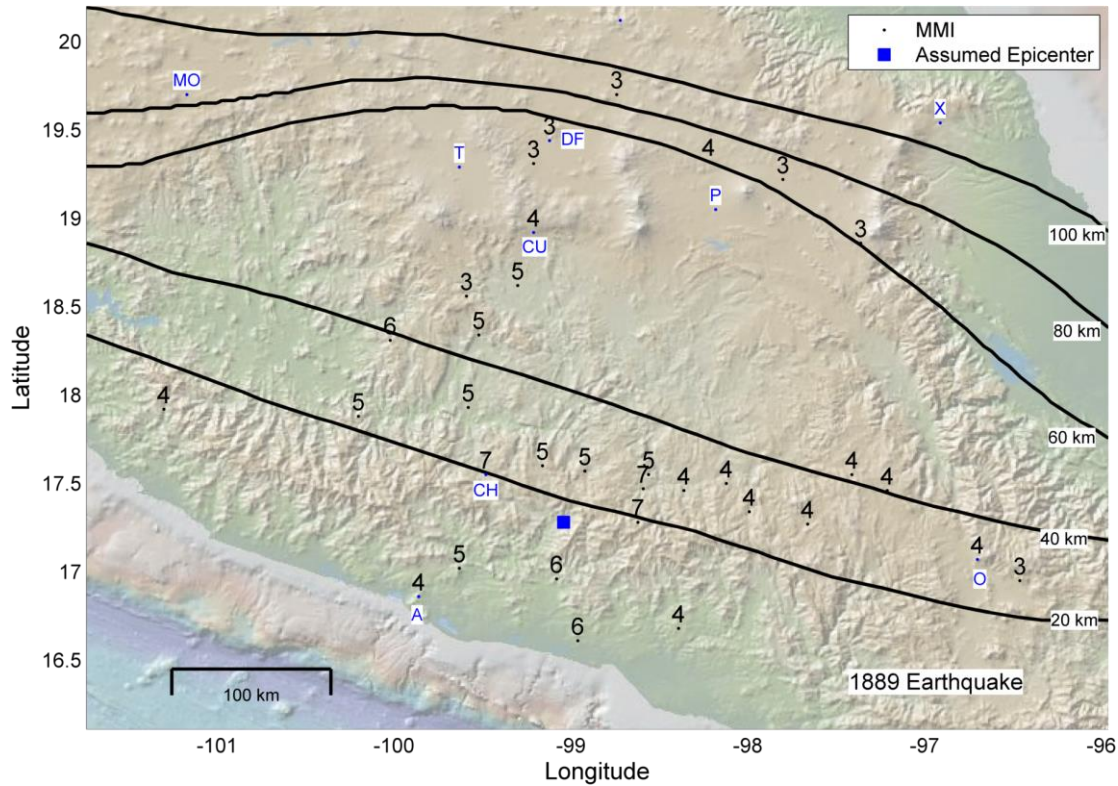


Fig. B-7 Epicentro estimado seleccionado por la distribución de intensidades mayores y basado en la evidencia de que se trata de un sismo in slab para el sismo del 6 de septiembre de 1889 a una profundidad estimada de 20 km. Curvas de profundidad de Pardo y Suárez (1995). Abreviaciones como en figuras previas.

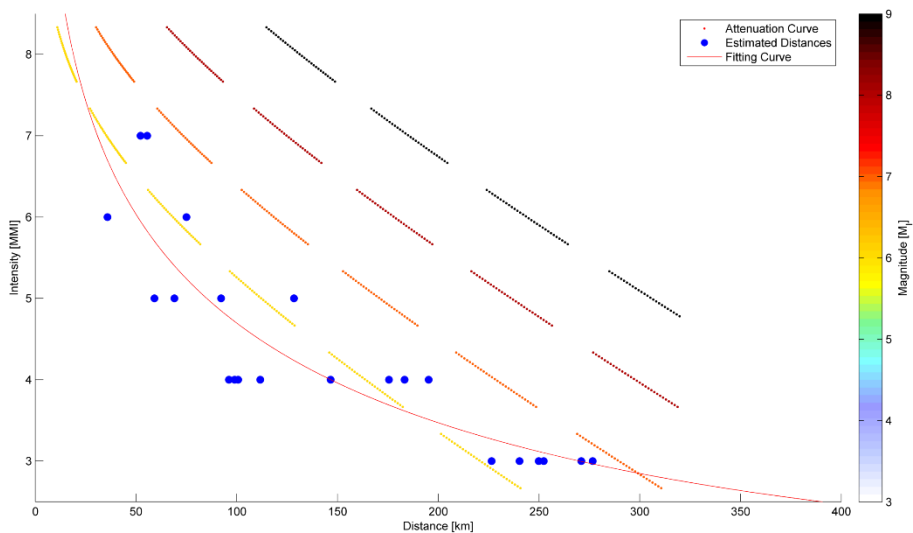


Fig. B-8 Distribución de intensidades (MMI) con respecto a la distancia al epicentro para el sismo del 6 de septiembre de 1889. Con base en la dispersión de los puntos y una curva de ajuste auxiliar se observa que la M_1 es 6.

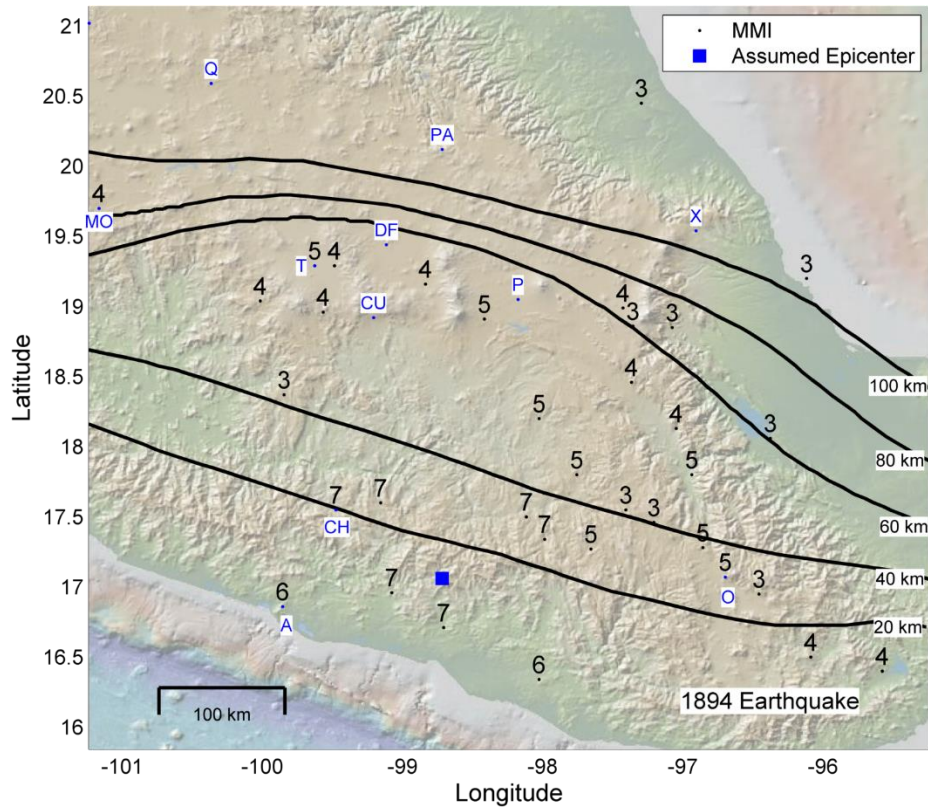


Fig. B-9 Epicentro estimado seleccionado por la distribución de intensidades mayores y basado en la evidencia de que se trata de un sismo in slab para el sismo del 12 de noviembre de 1894 a una profundidad estimada de 20 km. Curvas de profundidad de Pardo y Suárez (1995). Las abreviaciones de ciudad son: Q, Querétaro y otras abreviaciones como en figuras previas.

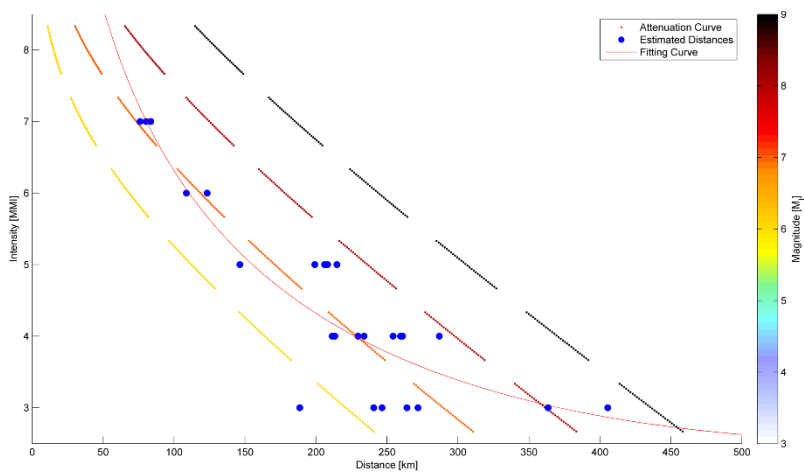


Fig. B-10 Distribución de intensidades (MMI) con respecto a la distancia al epicentro para el sismo del 12 de noviembre de 1894. Con base en la dispersión de los puntos y una curva de ajuste auxiliar se observa que la M_l es 7.

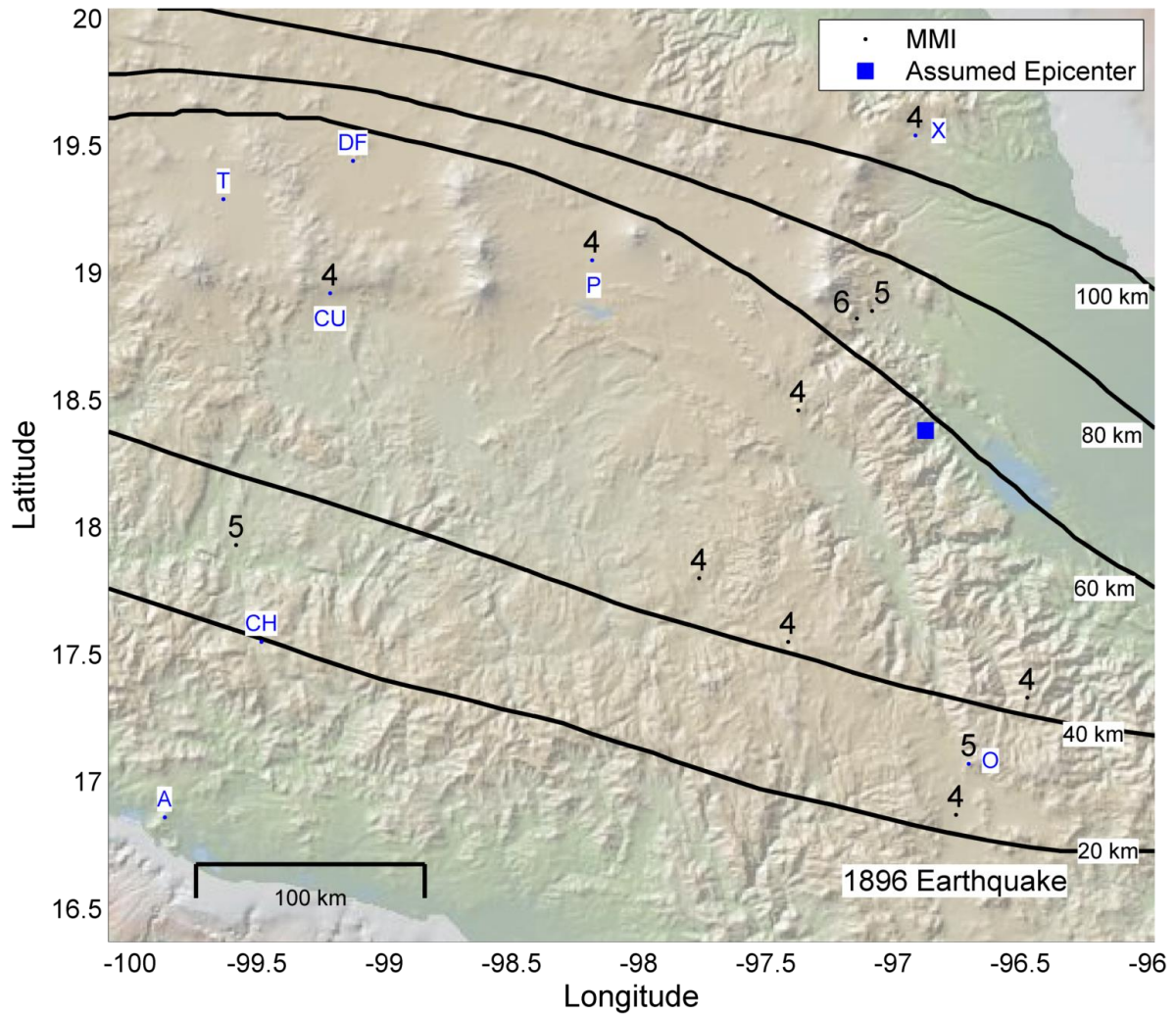


Fig. B-11 Epicentro estimado seleccionado por la distribución de intensidades mayores y basado en la evidencia de que se trata de un sismo in slab para el sismo del 20 de marzo de 1896. Curvas de profundidad de Pardo y Suárez (1995). La variación de intensidades no permite obtener curva de aproximación al existir un rango limitado de intensidades, la distribución es similar a sismos de M_i 6.0 con una profundidad de 59 km.

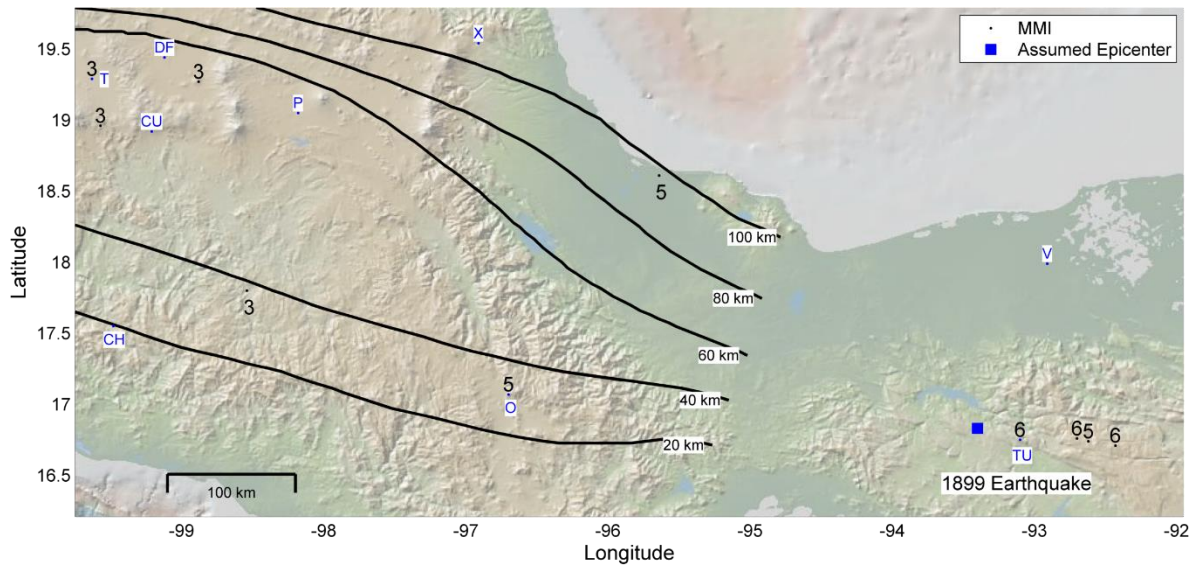


Fig. B-12 Epicentro estimado seleccionado por la distribución de intensidades mayores y basado en la evidencia de que se trata de un sismo in slab para el sismo del 25 de marzo de 1899. Curvas de profundidad de Pardo y Suárez (1995). La distribución de intensidades es similar a las del sismo del 21 de octubre de 1995 con una profundidad de 160 km. La magnitud se estima con base a sismos de distribuciones similares como M_l 6.0. Las abreviaciones de ciudad son: V, Villahermosa; TU, Tuxtla Gutiérrez y otras abreviaciones como en figuras previas.

Sismos del Eje Volcánico Transversal Mexicano (TMVB)

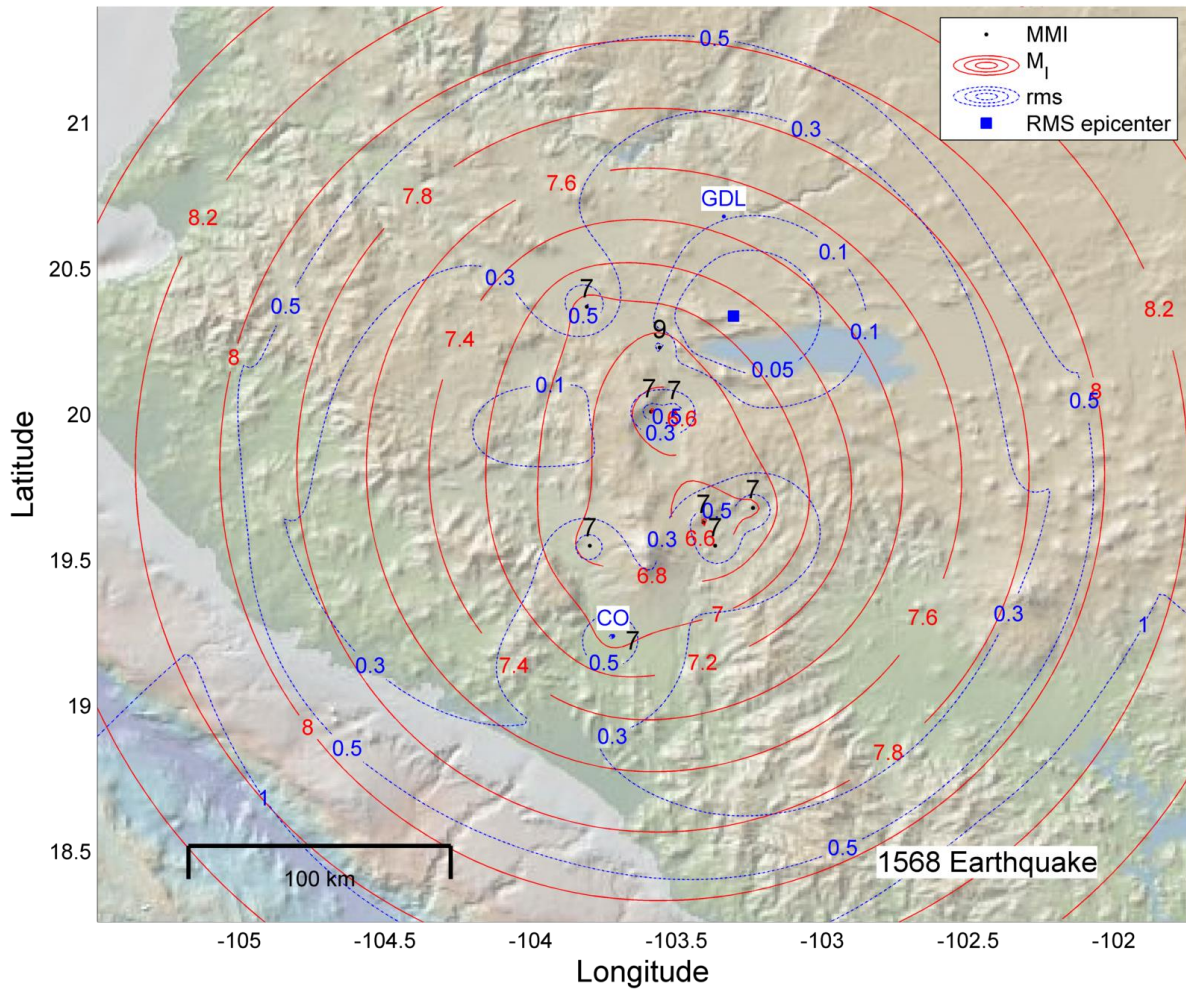


Fig. C-1 Resultado de la inversión en datos macrosísmicos para el sismo del 27 de diciembre de 1568. El mejor ajuste de ubicación epicentral se encuentra en el área donde ocurrió el mayor daño con magnitud M_I 7.2. Las abreviaciones de ciudad son: CO, Colima y GDL, Guadalajara.

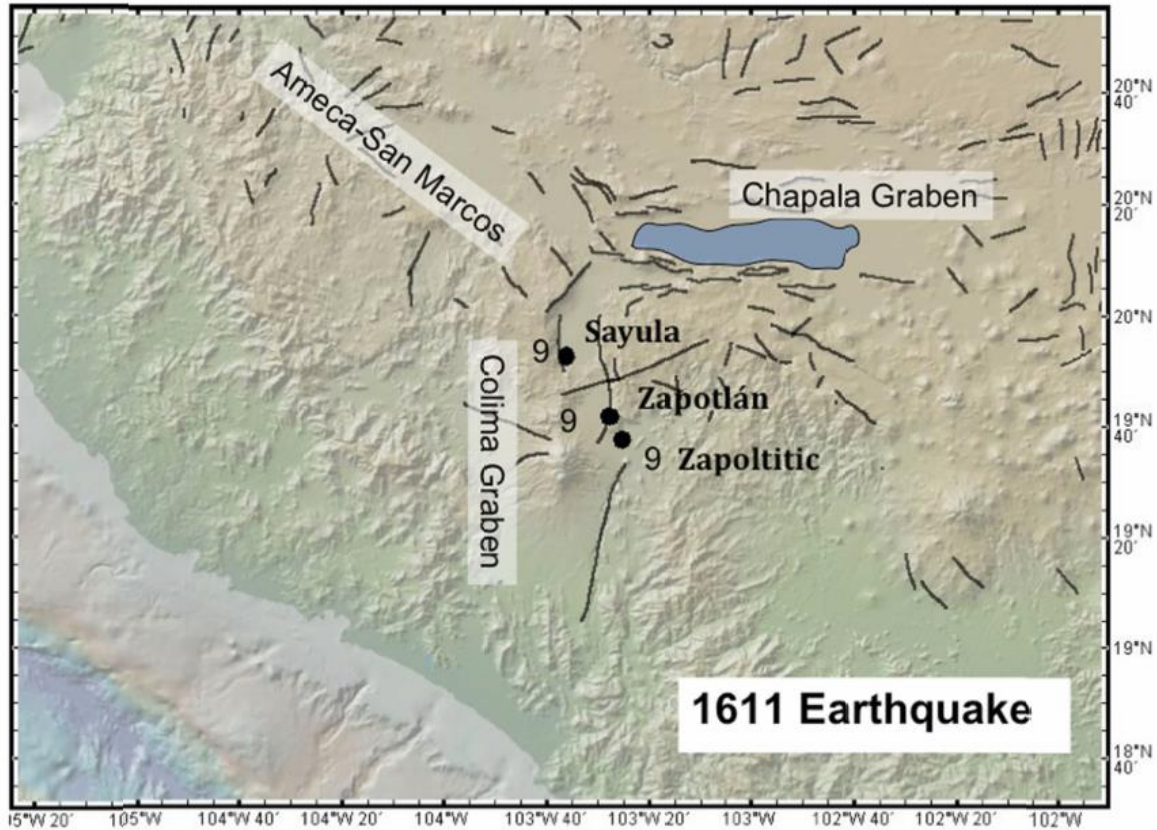


Fig. C-2 Mapa del oeste del Eje Volcánico Transversal Mexicano con falla mapeadas mostradas en líneas negras. Los círculos negros corresponden a las ciudades de Sayula, Zapoltitic y Zapotlán (hoy Ciudad Guzmán) juntas con su intensidad reportada en la escala modificada de Mercalli. El terremoto de 1611 aparentemente tomó lugar en la parte central del graben de Colima con M_l 6.4 estimada.

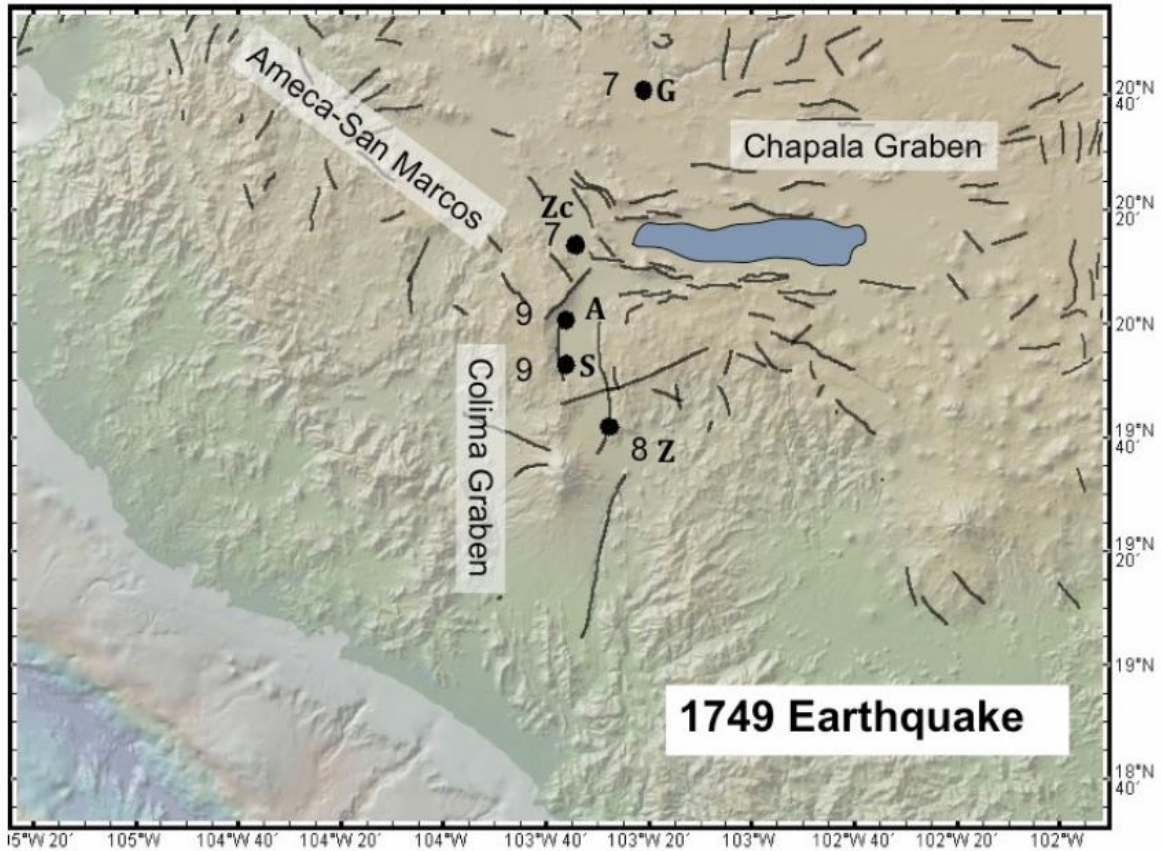


Fig. C-3 Mapa del oeste del Eje Volcánico Transversal Mexicano con falla mapeadas mostradas en líneas negras. Los círculos negros corresponden a las ciudades de: G, Guadalajara; Zc, Zacoalco; A, Amacueca; S, Sayula y Z, Zapotlán. El terremoto de 1749 aparentemente tomó lugar en la parte norte del graben de Colima con M_l 6.4 estimada.

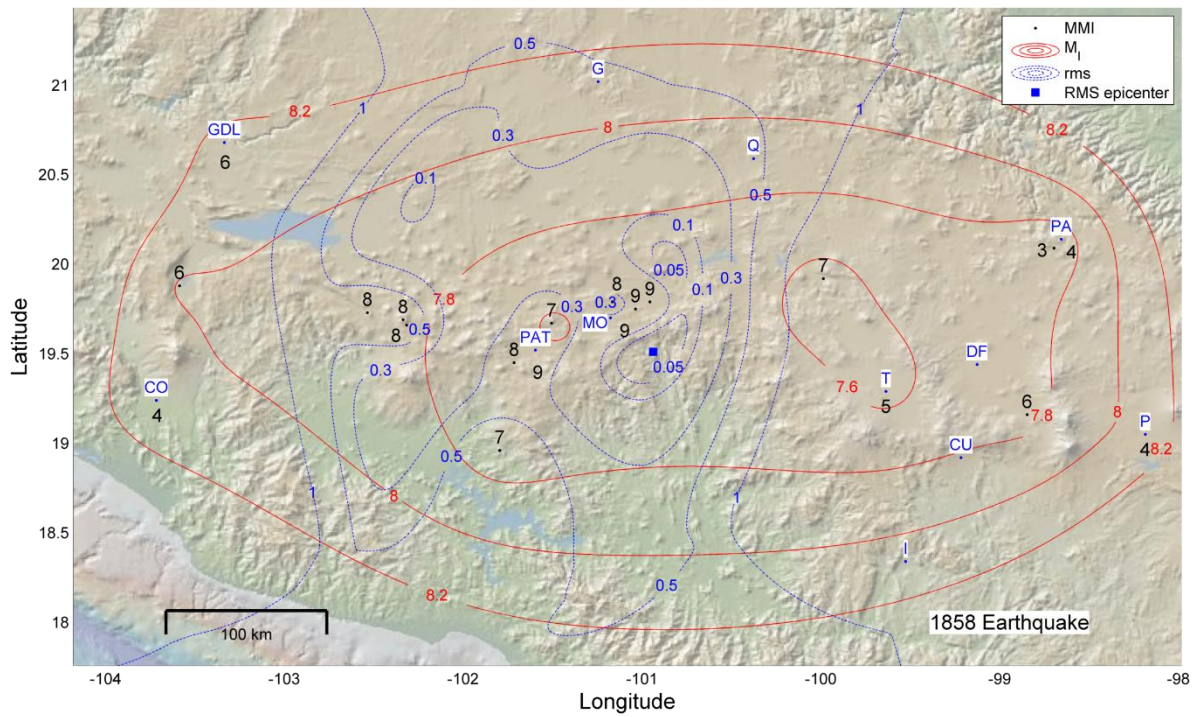


Fig. C-4 Resultado de la inversión del sismo del 19 de junio de 1858. El valor de error mínimo se ubica en la parte central del Eje Volcánico Transversal Mexicano corresponde a una magnitud M_l 7.6 haciéndolo el sismo de mayor magnitud registrado en el TMVB. Las abreviaciones de ciudad son: CO, Colima; GDL, Guadalajara; PAT, Pátzcuaro; G, Guanajuato; MO, Morelia; Q, Querétaro; T, Toluca; CU, Cuernavaca; DF, Ciudad de México; PA, Pachuca y P, Puebla.

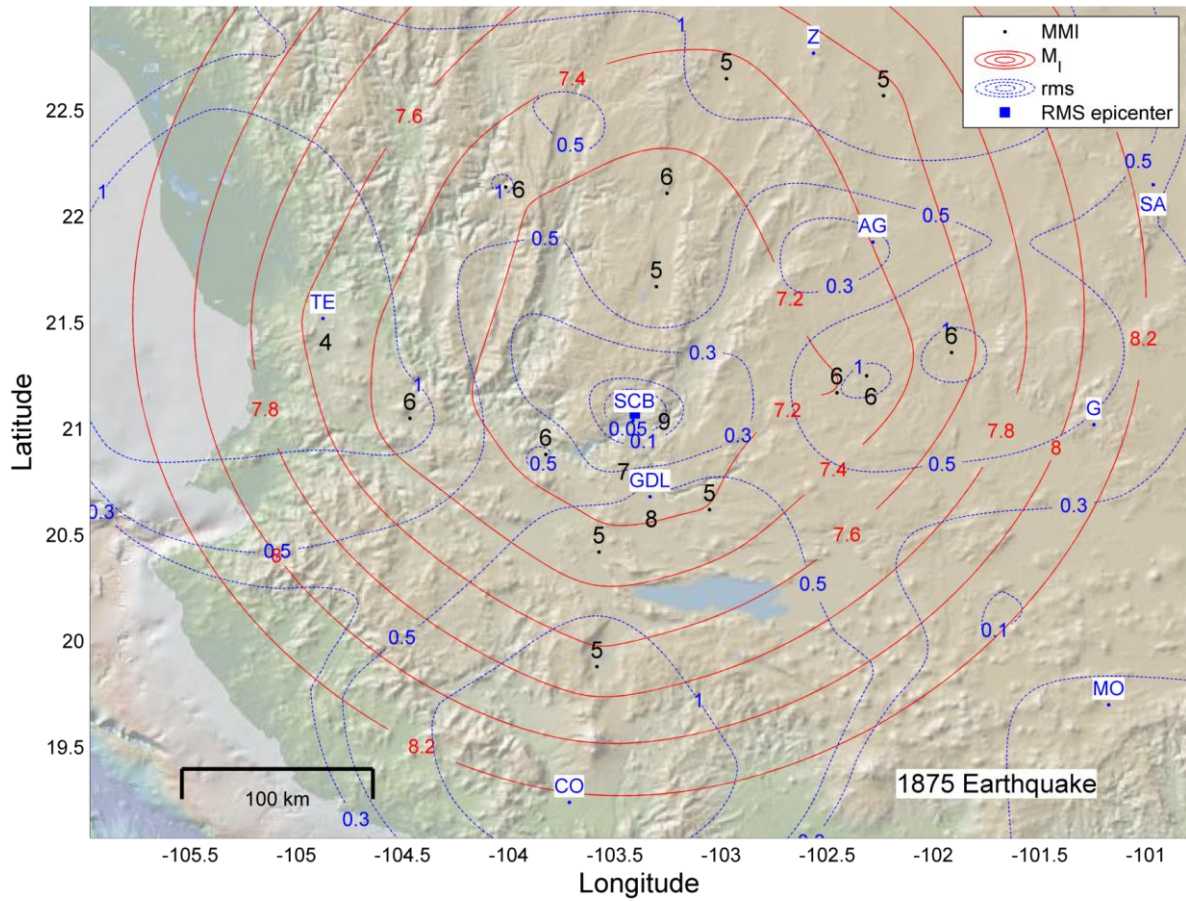


Fig. C-5 Resultado de la inversión del sismo del 11 de febrero de 1875. El valor de error mínimo se ubica en la parte central del Eje Volcánico Transversal Mexicano, corresponde a una magnitud M_I 7.2. Las abreviaciones de ciudad son: TE, Tepic; SCB, San Cristóbal de la Barranca; Z, Zacatecas; AG, Aguascalientes; SA, San Luis Potosí y otras abreviaciones como en figuras previas.

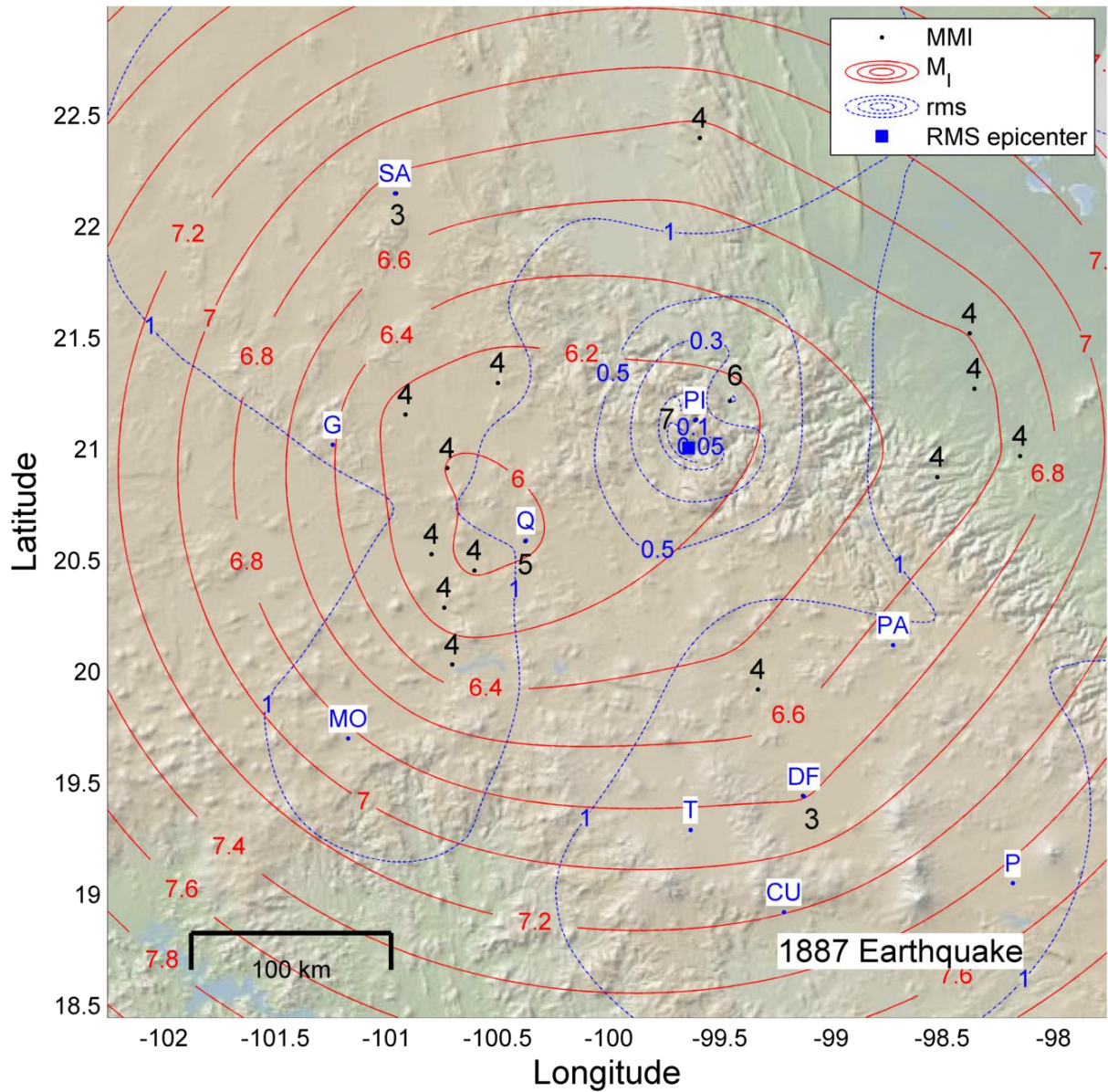


Fig. C-6 Resultado de la inversión en datos macrosísmicos para el sismo del 26 de noviembre de 1887. El mejor ajuste de ubicación epicentral se encuentra en el área correspondiente a una magnitud M_l 6.2. Las abreviaciones de ciudad son: PI, Pinal de Amoles y otras abreviaciones como en figuras previas.